

19/83

DEPARTEMENT D'ELECTRONIQUE ET D'ELECTROTECHNIQUE

rea

FILIÈRE D'INGENIEUR EN ELECTRONIQUE.



## PROJET DE FIN D'ÉTUDES

SUJET :

ÉTUDE DE QUADRIPOLES MICRO-ONDES  
PAR MÉTHODES GRAPHIQUES ET NUMÉRIQUES

PROPOSE PAR : K. GRABOWSKI.

REALISE PAR : BOUDIAF . A .

FARAH . DJ .

DEPARTEMENT D'ELECTRONIQUE ET D'ELECTROTECHNIQUE

FILIERE d'INGENIEUR en ELECTRONIQUE

PROJET DE FIN D'ETUDES

SUTET

ÉTUDE DE QUADRIPOLES MICRO ONDES  
PAR DES MÉTHODES GRAPHIQUES ET NUMÉRIQUES

PROPOSÉ par: Mr K. CRABOWSKI

réalisé par: BOUDIAF A  
FARAH D

بِسْمِ اللَّهِ الرَّحْمَنِ الرَّحِيمِ

أَوْلَمْ يَرَالَدِينَ كَفَرُوا أَنَّ السَّمَاوَاتِ وَالْأَرْضَ خَانَتَا  
رَتْقًا فَفَتَحْنَاهَا وَجَعَلْنَا مِنَ الْمَاءِ كُلَّ شَيْءٍ حَيًّا

أَفَلَا يَوْمَئِنُونَ<sup>صدق الله العظيم</sup>

<sup>سورة الأنساء الآية 30</sup>

Le Seigneur a dit : « Ceux qui ne me croient pas n'ont ils pas vu que les Cieux et La terre étaient bel et bien Cousus ? Ensuite nous Les avons dégagés tous deux et nous avons fait de L'eau tout être vivant . Ne croient ils donc pas ? »

( S XXI / 30 )

DEDICACES

A MES PARENTS

A MES FRERES ET SOEURS

DJAMEL

- A MA MERE

- A MON PERE

- A MES FRERES ET SOEURS

- A CEUX QUI ATTESTENT « qu'il n'y a de DIEU que DIEU  
et MOHAMED est son PROPHETE ».

ABDERRAHMANE

## REMERCIEMENTS

Nous tenons à remercier Mr GRABOWSKI, notre promoteur, pour sa gentillesse et l'aide consentie dans l'élaboration de notre travail.

Mes remerciements vont également :

- à Mr BOUDRAÂ
- à tous ceux qui nous ont aidé près ou loin.
- à ceux qui ont contribué à notre formation

## Table des Chapitres

- I) INTRODUCTION
- II) Formes De representation de quadripoles micro-ondes
- III) METHODES DE MESURE de quadripoles micro-ondes
- IV) EXEMPLES de representation de quadripoles choisis
- V) CONCLUSION
- VI ANNEXE :
  - programme donnant les paramètres du cercle OPTIMUM
  - programme de calcul des éléments  $S_{ij}$

## I) INTRODUCTION

l'intérêt du coefficient de réflexion et de la notion d'onde est vite apparu, dans le domaine des hyperfréquences, pour décrire les circuits. C'est que l'emploi du coefficient de réflexion s'avère efficace puisqu'il est facile de suivre ses transformations le long d'une chaîne de quadripôles : son évolution est représentée par une simple transformation homographique. On en vient vite à la théorie de la matrice  $S$ .

Cette matrice présente des propriétés mathématiques commodes et existe pour toutes sortes de quadripôles. Elle renferme les caractéristiques principales du quadripôle : le coefficient de réflexion et celui de transmission.

Une autre représentation utilise le schéma électrique pour caractériser un quadripôle : c'est celle, par exemple, où un circuit dit canonique. Cette représentation permet de pouvoir travailler dans les conditions optimales, de connaître d'avance le comportement du circuit utilisé si on opère quelque modification des travaux relativement récents montrent que le champ d'application de la matrice  $S$  peut être étendu aux basses fréquences.

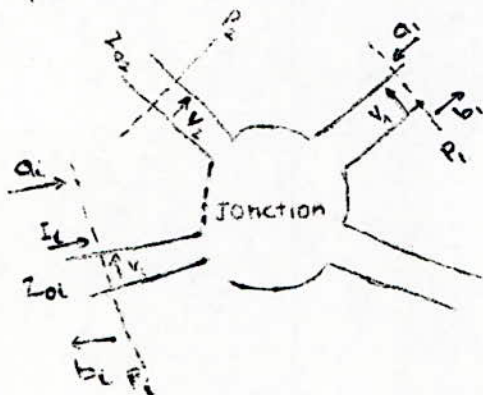
## II FORMES DE REPRESENTATION DE QUADRIPOLES MICRO-ONDES

### ① representation par des matrices

#### 1.1 MATRICE DE REPARTITION

1.1.1 multipôle:

② DEFINITION de la matrice [S]: considérons un multipôle passif de n accès ou sorties et de plans de référence spécifiés  $P_i$



chaque porte se caractérise par : - son impedance caractéristique  $Z_{ii}$   
- l'onde entrante  $a_i$   
- l'onde sortante  $b_i$

Pour caractériser le multipôle, indépendamment de ses terminaisons, nous chercherons une grandeur sous forme d'une matrice rassemblant les paramètres caractéristiques de ce multipôle. L'étude, alors, du multipôle revient à la connaissance des éléments  $S_{ij}$  de cette matrice que nous appellerons [S]. Les  $S_{ij}$  sont déterminés pour des plans de référence donnés et une fréquence fixe.

Les milieux contenus dans le multipôle sont supposés linéaires, ce qui permet d'écrire une onde sortante  $b_i$  comme la somme de toutes les ondes

entrantes  $a_j$  affectées des constantes  $s_{ij}$ :

$$b_i = s_{i1}a_1 + s_{i2}a_2 + \dots + s_{in}a_n$$

En faisant varier  $i$  de 1 à  $n$  on obtient l'écriture suivante:

$$\begin{bmatrix} b_1 \\ b_2 \\ \vdots \\ b_n \end{bmatrix} = \begin{bmatrix} s_{11} & \dots & s_{1n} \\ s_{21} & \dots & s_{2n} \\ \vdots & \ddots & \vdots \\ s_{n1} & \dots & s_{nn} \end{bmatrix} \begin{bmatrix} a_1 \\ a_2 \\ \vdots \\ a_n \end{bmatrix}, \text{ soit d'une manière plus simple: } [b] = [S][a]$$

(II) définit la matrice  $[S]$  du multipôle

b/ Signification physique des éléments  $s_{ij}$ :

Si on excite la porte  $i$  avec une onde  $a_i$  en adaptant toutes les autres terminaisons

on a:  $\begin{cases} a_j = 0 & j = 1, \dots, n \\ j \neq i \end{cases}$  d'où  $b_n = s_{ii} \cdot a_i$

\* pour  $k = i$   $s_{ii} = S_{ii}$  représente le coefficient de réflexion de l'accès  $i$

\* pour  $k \neq i$   $s_{ki}$  représente le coefficient de transmission de l'accès  $i$  vers l'accès  $k$ .

c/ Signification physique des ondes  $a_i$  et  $b_i$ :

Pour l'accès  $i$  on a les expressions de la tension et du courant comme:

$$\begin{aligned} V_i(z) &= V_i^+ e^{j\omega z} + V_i^- e^{-j\omega z} \\ Z_{oi} \cdot I_i(z) &= V_i^+ e^{j\omega z} - V_i^- e^{-j\omega z} \end{aligned} \quad (\text{EQ. 1})$$

Remarque:  $Z_{oi}$  sera réelle pour la suite

$$2V_i^+ = e^{j\omega z} (V_i(z) + Z_{oi} I_i(z))$$

$$2V_i^- = e^{-j\omega z} (V_i(z) - Z_{oi} I_i(z))$$

on pose:  $a_i = \frac{V_i^+ e^{j\omega z}}{\sqrt{Z_{oi}}} ; b_i = \frac{V_i^- e^{-j\omega z}}{\sqrt{Z_{oi}}}$

on obtient:  $V_i = (a_i + b_i) \sqrt{Z_{oi}}$  et  $I_i = \frac{a_i - b_i}{\sqrt{Z_{oi}}}$

$$I_i = \frac{a_i - b_i}{\sqrt{Z_{oi}}}$$

La puissance moyenne est donnée par:  $P_m = \frac{1}{2} \Re_e(V_i I_i^*)$

$$P_m = \frac{1}{2} [a_i a_i^* - b_i b_i^*] = \frac{1}{2} [|a_i|^2 - |b_i|^2]$$

$$\text{La puissance moyenne totale: } P_{mt} = \frac{1}{2} \left[ \sum_{i=1}^n |a_i|^2 - \sum_{i=1}^n |b_i|^2 \right]$$

- cas particulier du multipôle sans pertes:

$$\text{La puissance dissipée est nulle dans ce cas: } a = \frac{n}{2} \left[ \sum_{i=1}^n |a_i|^2 - \sum_{i=1}^n |b_i|^2 \right]$$

$$\text{i.e. } \sum_{i=1}^n |a_i|^2 = \sum_{i=1}^n |b_i|^2 \quad (\text{eq 2})$$

La puissance totale entrante est égale à la puissance sortante totale.

### 1.1.2 Quadripôle:

Pour un quadripôle ( $n=2$ ), la matrice de répartition se réduit à:

$$S = \begin{bmatrix} S_{11} & S_{12} \\ S_{21} & S_{22} \end{bmatrix}$$

Pour un quadripôle sans pertes l'équation (2) ( $\phi 1.1.1$ ) devient:

$$\sum_{i=1}^2 |a_i|^2 = \sum_{i=1}^2 |b_i|^2 \text{ ou } \sum_{i=1}^2 a_i a_i^* = \sum_{i=1}^2 b_i b_i^*$$

$$[\hat{a}]^* [a] = [\hat{b}]^* [b] = [\tilde{s}a]^* [sa] = [\hat{a}]^* [\tilde{S}]^* [S] [a] \Rightarrow [\tilde{S}]^* [S] = I$$

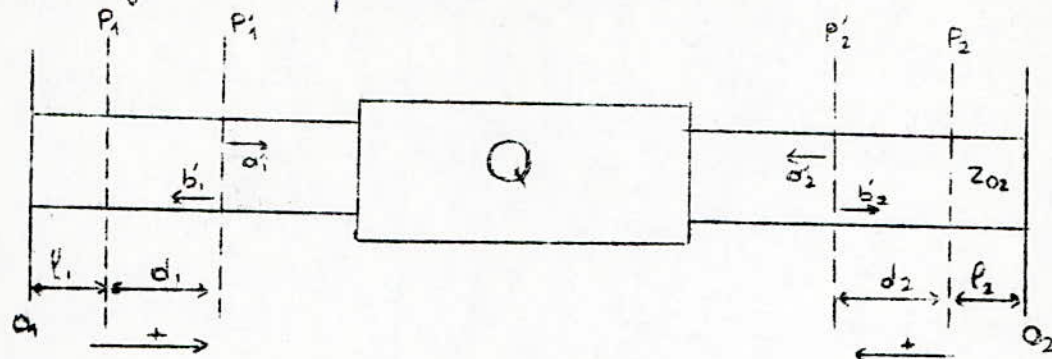
avec:  $I$  = matrice unité  
 $\wedge$  = le transposé  
 $*$  = le conjugué

Si le quadripôle est symétrique:  $[\tilde{S}] = [S]$  d'où  $[S]^* [S] = I$

Ce qui se traduit par:

$$\sum_{r=1}^2 S_{ri}^* S_{rj} = \delta_{ij} \left\{ \begin{array}{ll} 1 & \text{si } i=j \\ 0 & \text{si } i \neq j \end{array} \right.$$

### 1.1.3 changement des plans de référence:



En choisissant le sens positif celui qui entre dans le quadripôle on a les expressions des  $S'_{ij}$  définis par rapport aux nouveaux plans ( $P'_1$  et  $P'_2$ ) données par [GRIVET]:  $S'_{21} = S_{21} e^{j(B_1 d_1 + B_2 d_2)}$ ;  $S'_{11} = S_{11} e^{2jB_1 d_1}$   
 $S'_{12} = S_{12} e^{j(B_1 d_1 + B_2 d_2)}$ ;  $S'_{22} = S_{22} e^{2jB_2 d_2}$

soit d'une manière générale:  $S'_{ik} = S_{ik} e^{j(B_i d_i + B_k d_k)}$

### 1.2 MATRICE DE TRANSFERT C:

La matrice de transfert est une caractéristique du quadripôle. Elle relie les ondes dans le plan d'entrée  $P_1$  aux ondes dans le plan de sortie  $P_2$ . Elle est surtout utilisée pour la détermination du quadripôle équivalent de plusieurs quadripôles reliés en cascade. Elle est définie par:

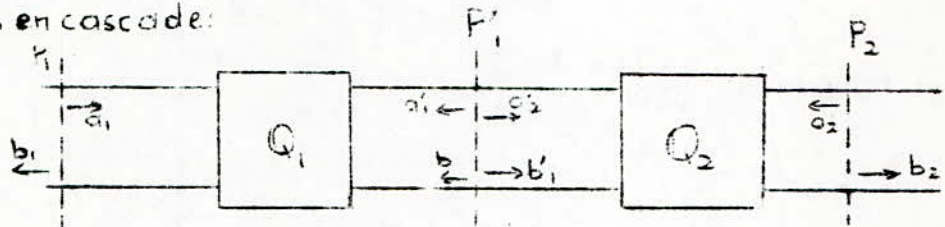
$$\begin{bmatrix} a_1 \\ b_1 \end{bmatrix} = \begin{bmatrix} c_{11} & c_{12} \\ c_{21} & c_{22} \end{bmatrix} \begin{bmatrix} b_2 \\ a_2 \end{bmatrix} \Leftrightarrow \begin{bmatrix} a_1 \\ b_1 \end{bmatrix} = C \begin{bmatrix} b_2 \\ a_2 \end{bmatrix}$$

- Relation entre les  $C_{ij}$  et les  $S_{ij}$  d'un quadripôle:

on montre aisement que:

$$C_{11} = \frac{1}{S_{21}} ; C_{12} = -\frac{S_{22}}{S_{21}} ; C_{21} = \frac{S_{11}}{S_{21}} ; C_{22} = S_{12} - \frac{S_{11} S_{22}}{S_{21}}$$

### 1.2.1 Quadripôles en cascade:



le plan  $P'_1$  est commun aux 2 quadripôles

$$\begin{bmatrix} a_1 \\ b_1 \end{bmatrix} = [C_1] \begin{bmatrix} b'_1 \\ a'_1 \end{bmatrix} \quad \text{et} \quad \begin{bmatrix} a'_2 \\ b'_2 \end{bmatrix} = [C_2] \begin{bmatrix} b_2 \\ a_2 \end{bmatrix}$$

$$\text{comme } \begin{bmatrix} b_1 \\ a_1 \end{bmatrix} = \begin{bmatrix} a'_2 \\ b'_2 \end{bmatrix} \Rightarrow \begin{bmatrix} a_1 \\ b_1 \end{bmatrix} = [C_1] [C_2] \begin{bmatrix} b_2 \\ a_2 \end{bmatrix} = [C] \begin{bmatrix} b_2 \\ a_2 \end{bmatrix}$$

La matrice de transfert du quadripôle équivalent est:  $[C] = [C_1][C_2]$

En généralisant à  $n$  quadripôles:  $[C] = [C_1][C_2] \dots [C_n]$

### 1.3 Propriétés générales:

Pour faciliter l'étude, on considère les accès homogènes:

$$R_{C1} = R_{C2}$$

#### 1.3.1 MATRICE de REPARTITION S:

a/ reciprocité: si le quadripôle est réciproque on a:  $S_{12} = S_{21}$

b/ symétrie: un quadripôle est symétrique si on le retournant les coefficients de reflexion restent inchangés, ce qui se traduit par:  $S_{11} = S_{22}$

c/ Quadripôle sans pertes: [voir GRIVET]

$$|S_{11}|^2 + |S_{21}|^2 = 1 \quad ; \quad |S_{12}|^2 + |S_{22}|^2 = 1 \quad ; \quad S_{11} S_{12}^* + S_{21} S_{22}^* = 0$$

#### 1.3.2 MATRICE de chaîne:

Les mêmes propriétés se retrouvent dans la matrice de chaîne:

a/ réciprocité:  $C_{12} = C_{21}$

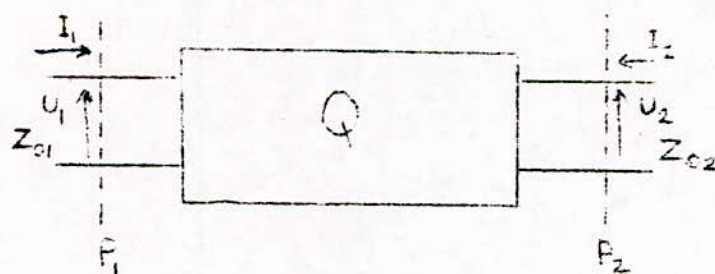
b/ symétrie:  $C_{11} = C_{22}$

## 2. REPRESENTATION par les circuits équivalents:

### 2.1 representation par transformateur:

2.1.1 théorème: Pour n'importe quel quadripôle sans pertes, on peut trouver, pour une fréquence fixe, deux plans dans la ligne d'entrée et de sortie entre lesquels le quadripôle est représenté par un transformateur ayant un coefficient de transformation réel.

démonstration:



Soit la matrice A, appelée matrice de chaîne, définie par :

$$\begin{bmatrix} U_1 \\ I_1 \end{bmatrix} = [A] \begin{bmatrix} U_2 \\ -I_2 \end{bmatrix} \quad \text{avec} \quad A = \begin{bmatrix} A_{11} & A_{12} \\ A_{21} & A_{22} \end{bmatrix}$$

Supposons que la ligne, d'impédance caractéristique  $Z_{02}$ , est terminée en  $P_2$  par la charge  $Z_{ch}$ . Alors l'impédance vue en  $P_1$  est :

$$Z_{P_1} = \frac{A_{12} + A_{11}Z_{ch}}{A_{22} + A_{21}Z_{ch}}$$

D'autre part les éléments de  $[A]$  sont reliés aux éléments de  $[Z]$  par :

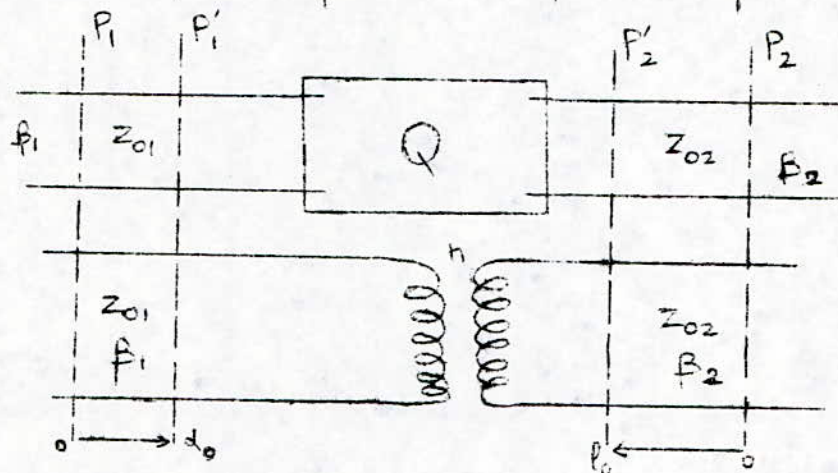
$$A_{11} = \frac{Z_{11}}{Z_{12}}, \quad A_{12} = \frac{\det[Z]}{Z_{12}}, \quad A_{21} = \frac{1}{Z_{12}}, \quad A_{22} = \frac{Z_{22}}{Z_{12}}$$

Comme les  $Z_{ij}$ , d'un quadripôle sans pertes, sont imaginaires purs alors :

$A_{11}$  et  $A_{22}$  sont réels,  $A_{21}$  et  $A_{12}$  sont imaginaires purs.

Supposons que nous ayons trouvé les deux plans  $P'_1$  et  $P'_2$  entre lesquels le quadripôle, sans pertes, peut être représenté par un transformateur

idéal



on place en  $P'_2$  une charge  $Z_{ch}$ , on a alors:  $Z_{P'_1} = Z'_1 = n^2 Z_{ch}$

$$\text{or on a la relation: } Z'_1 = ZP'_1 = \frac{A_{12} + A_{11} Z_{ch}}{A_{22} + A_{21} Z_{ch}} = n^2 Z_{ch}$$

cette égalité est vérifiée pour:  $A_{12} = A_{21} = 0$

ce qui donne:  $n^2 = \frac{A_{11}}{A_{22}}$ ;  $n^2$  étant réel par hypothèse, le rapport

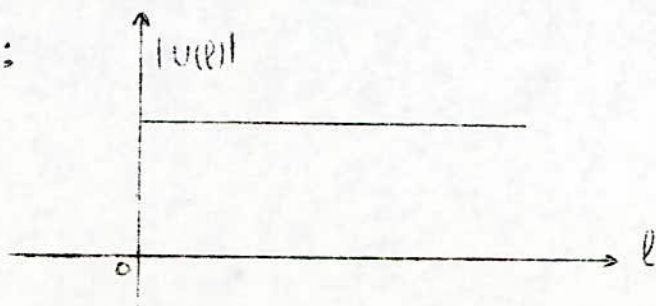
$\frac{A_{11}}{A_{22}}$  est aussi réel, l'égalité est donc vraie.

g) détermination de  $n^2$ :

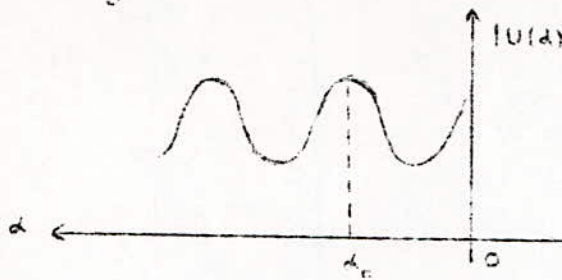
supposons qu'on ait une charge adaptée en  $P'_2$ :  $Z_{ch} = Z_{02}$

les ondes réfléchies sont alors nulles, l'intensité  $U(l)$ , à droite,

est de la forme:



Par contre, à gauche, la tension  $U(d)$  a la forme suivante :



on choisit le plan  $P'$  en un maximum de tension.  $P'$  correspond au point

d'abscisse  $d=d_0$ . Par définition le TOS est :  $S = \left| \frac{U_{\max}(d)}{U_{\min}(d)} \right|$

$$\text{En un maximum de tension on a : } Z = S Z_{01} = \frac{A_{11} Z_{02} + A_{12}}{A_{21} Z_{02} + A_{22}} \quad (1)$$

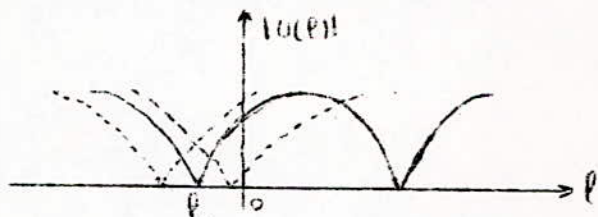
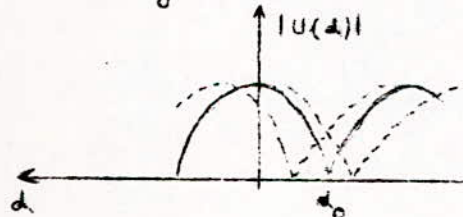
$S Z_{01}$  étant réel l'égalité (1) est vérifiée pour :

$$\begin{cases} A_{12} = A_{21} = 0 \\ \text{ou} \\ A_{11} = A_{22} = 0 \end{cases}$$

Faisons de telle sorte que c'est :  $A_{12} = A_{21} = 0$

Pour cela remplaçons la charge adaptée par un court-circuit mobile, on a

alors, à gauche et à droite, des ondes stationnaires de la forme :



le plan  $P'$  correspondant à  $d=d_0$  est conservé.

Déplaçons le court-circuit de façon à avoir un minimum en  $d=d_0$ ; en ce point

$$Z(d_0) = \frac{Z_{01}}{S} = 0 = \frac{A_{11} Z_{ch} + A_{12}}{A_{21} Z_{ch} + A_{22}} = \frac{A_{12}}{A_{22}} \quad (Z_{ch}=0)$$

comme  $A_{22} \neq \infty$  (sinon  $Z(d)$  serait nulle quelque soit  $Z_{ch}$ ) on a

nécessairement  $A_{12} = A_{21} = 0$ . Ainsi le rapport de transformation,

entre les plans  $P_1'$  et  $P_2'$  est :  $n^2 = \frac{A_{11}}{A_{22}}$

b) le coefficient  $n^2$  est fonction de  $S$ ,  $Z_{01}$  et  $Z_{02}$  :

on a :  $Z(d_0) = S Z_{01} = \frac{A_{11}}{A_{22}} Z_{02} = n^2 Z_{02}$  d'où

$$n^2 = S \frac{Z_{01}}{Z_{02}}$$

Si les deux lignes ont même impedance caractéristique :  $n^2 = S$  ( $Z_{01} = Z_{02}$ )

on a trouvé finalement les trois paramètres ( $d_0$ ,  $l_0$  et  $n^2$ ) du transformateur équivalent à notre quadripôle sans pertes.

### 2.1.2 Équation des tangentes:

cette équation n'est valable que pour les quadripoles sans pertes.

Pour trouver cette équation on procède de la manière suivante :

on place comme charge un court-circuit mobile et on cherche la

relation qui existe entre  $\ell$  et  $z$ . on a :  $Z(\ell_0) = j Z_{02} \operatorname{tg} \beta_2 (\ell - \ell_0)$

et  $Z(\ell) = 0$  (puisque on a un court-circuit en  $\ell$ ). D'autre part

$$Z(d_0) = n^2 Z(\ell_0) = j n^2 Z_{02} \operatorname{tg} \beta_2 (\ell - \ell_0) = j Z_{01} S \operatorname{tg} \beta_2 (\ell - \ell_0)$$

$$Z(d) = Z_{01} \frac{Z(d_0) + j Z_{01} \operatorname{tg} \beta_1 (d - d_0)}{Z_{01} + j Z(d_0) \operatorname{tg} \beta_1 (d - d_0)} = 0 \text{ (au minimum)}, \text{ ceci donne}$$

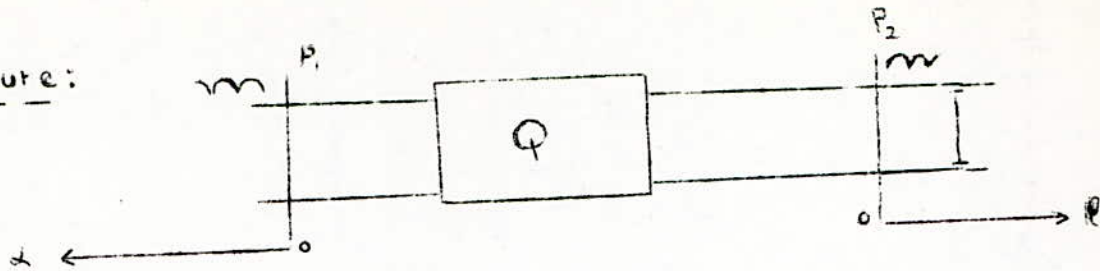
$$Z(d_0) + j Z_{01} \operatorname{tg} \beta_1 (d - d_0) = 0 \quad \text{et Finalement :}$$

$$\operatorname{tg} \beta_1 (d - d_0) + S \operatorname{tg} \beta_2 (\ell - \ell_0) = 0$$

### 2.1.3 Application de la méthode des tangentes:

cette méthode est particulièrement intéressante pour un quadripôle introduisant une faible désadaptation (Tos faible).

Procédure:



- on choisit deux plans, arbitrairement,  $P_1$  et  $P_2$  qu'on prend comme références
- on charge le quadripôle par un court-circuit mobile.
- on repère un minimum quelconque, en amont du quadripôle, correspondant à une position  $l$  du court-circuit. En faisant varier  $l$  on obtient différentes valeurs de  $d$ . On trace, alors, la courbe  $\frac{d}{\lambda_1} = f\left(\frac{l}{\lambda_2}\right)$ . L'allure de la

courbe est dessinée ci-après:



Posons dans l'équation de la tangente (paragraphe 21.2) :

$$y = \beta_1(d - d_0) \quad \text{et} \quad x = \beta_2(l - l_0)$$

$$\text{on obtient: } \tan y + s \tan x = 0$$

$$\text{on a en différentiant: } \frac{dy}{\cos^2 y} = -s \frac{dx}{\cos^2 x}$$

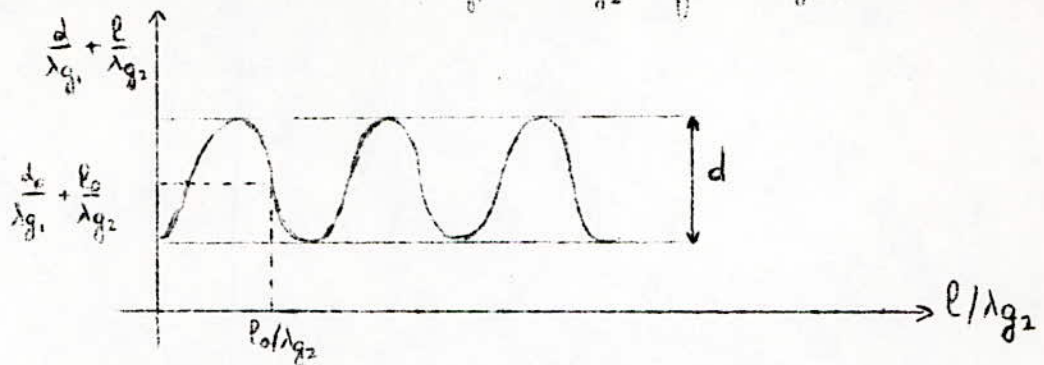
$$\text{Pour } \begin{cases} d = d_0 \\ l = l_0 \end{cases} \text{ alors } \begin{cases} y = 0 \\ x = 0 \end{cases} \longrightarrow \cos^2 y = \cos^2 x = 1$$

- pour des lignes homogènes on a:  $Z_{01} = Z_{02}$  et donc  $n^2 = s$

$$\text{d'où } n^2 = -\frac{dy}{dx} = -\frac{d(d/\lambda_1)}{d(l/\lambda_2)}$$

$n^2$  étant le carré du rapport de transformation.

Si on trace maintenant la courbe  $\frac{d}{\lambda g_1} + \frac{l}{\lambda g_2} = f\left(\frac{l}{\lambda g_2}\right)$  on a l'allure suivante :



on démontre (Ginzton page 281) que :

$$n^2 = \frac{1 + \sin \pi d}{1 - \sin \pi d}$$

- pour  $d \ll 1$  on a :  $n^2 \approx 1 + 2\pi d$

Pour trouver  $n$  il suffit de mesurer la distance  $d$ . les plans  $P'_1$  et  $P'_2$  sont donnés par  $d_0$  et  $P_0$ , respectivement, au point d'inflexion.

## 2.2 représentation par circuit de Weissflock:

les deux méthodes vues précédemment, celles du transformateur et de la tangente, permettent de donner le schéma équivalent pour un quadripôle sans pertes. Pour un quadripôle avec pertes on utilise la méthode de Weissflock. Cette méthode consiste à trouver, entre deux plans  $P_1$  et  $P_2$ , le circuit équivalent d'un quadripôle imparfait et réciproque. Ce circuit est constitué de deux quadripoles en cascade, l'un dissipatif, l'autre parfait (Fig 2.2 a et b)

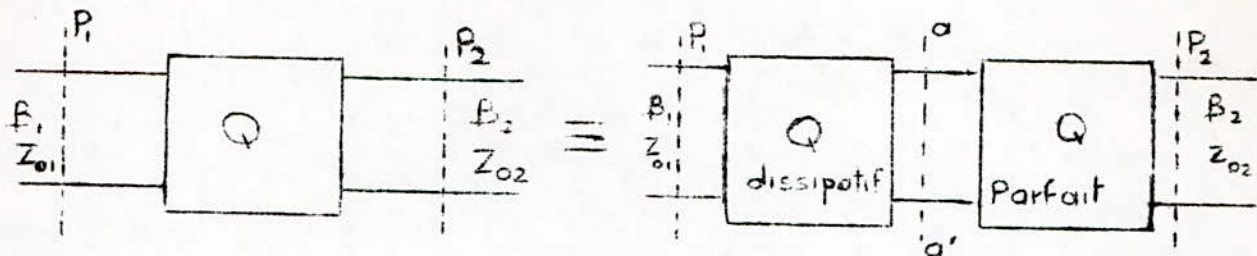


Fig 2.2 a

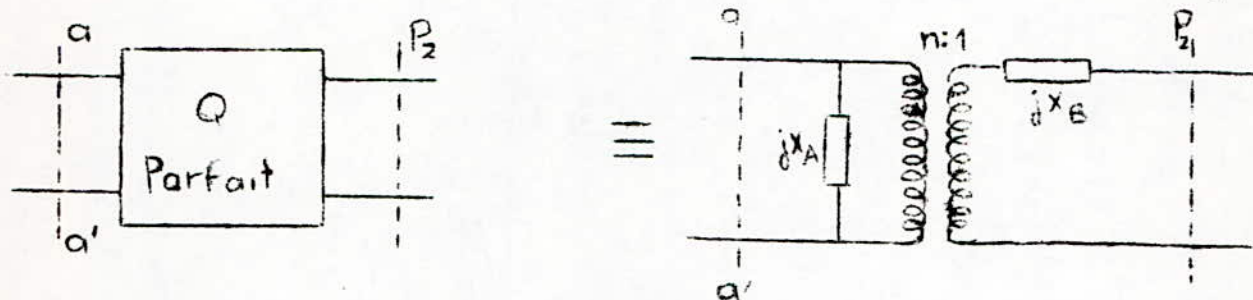
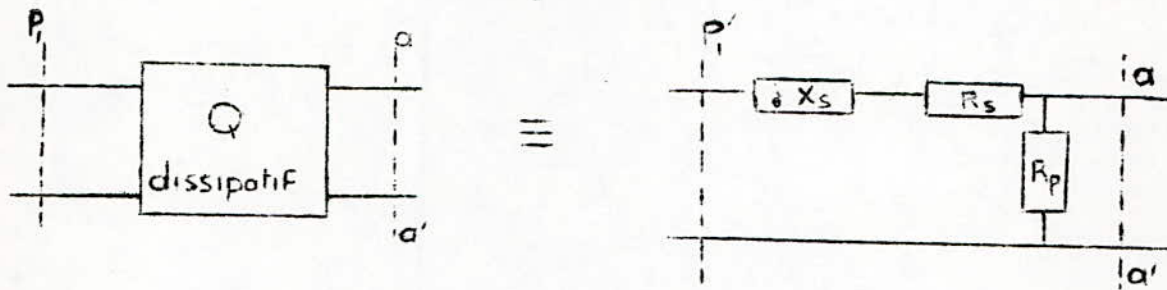


Fig 2.2 b

Le problème revient à déterminer les six paramètres:  $X_s, R_s, R_p, n, X_A, X_B$

Pour cela on charge le quadripôle par un court-circuit mobile.

le quadripôle parfait ramène, dans le plan ( $a, a'$ ), l'impédance de valeur  $Z_s = jZ_{02} \tan B_2 \beta + jX_B$  alors  $Z_{(a, a')} = n^2 Z_s$

le quadripôle parfait transforme les réactances pures, de charge, en réactances pures à son entrée, puis elles sont transformées, à leur tour, par le quadripôle imparfait en un cercle dans le demi-plan  $r > 0$

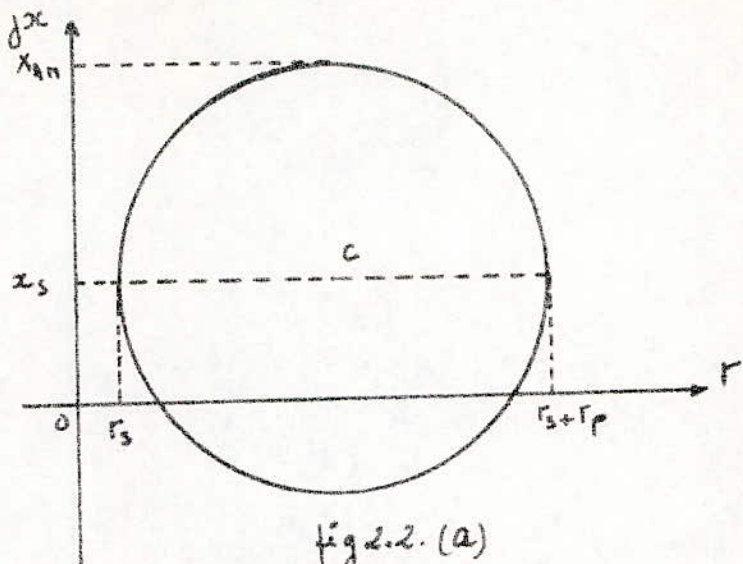


fig 2.2. (a)

Determination des différents paramètres du schéma

a) La résistance  $R_s$  et la réactance  $X_s$ :

On déplace le court circuit de manière à avoir une impédance nulle dans le plan  $\alpha\alpha'$  ( $Z_{\alpha\alpha'} = 0$ ), alors  $Z_{P_1} = jX_s + R_s + R_p // Z_{\alpha\alpha'} = jX_s + R_s$  ainsi  $R_s$  correspond à la résistance minimum fig 2.2(a) d'où on tire  $X_s$ .

b) La réactance  $X_B$ :

$$Z_{\alpha\alpha'} = 0 \Leftrightarrow jX_B + jZ_{02} \operatorname{tg} \beta_2 l_1 = 0 \quad \text{d'où} \quad X_B = -Z_{02} \operatorname{tg} \beta_2 l_1$$

c) La réactance  $X_A$ :

On fait varier la position du court circuit de manière à obtenir la résonnance dans le plan  $\alpha\bar{\alpha}$

$Z_{\alpha\bar{\alpha}} = R_p // (Z_r // jX_A)$  :  $Z_r$ : impédance ramenée par le  $\lambda$  parfait dans le plan  $\alpha\bar{\alpha}$ . Pour avoir la résonnance dans le plan  $\alpha\bar{\alpha}$  il faut que:

$$Z_r // jX_A = \infty \quad \text{d'où} \quad Z_r + jX_A = 0 \Leftrightarrow j^2(X_B + Z_{02} \operatorname{tg} \beta_2 l_1) + jX_A = 0$$

$$\text{d'où} \quad X_A = -j^2(X_B + Z_{02} \operatorname{tg} \beta_2 l_1)$$

d) La résistance  $R_p$ :

Pour une impédance infinie dans le plan  $(\infty)$  (i.e.  $Z_{an} = \infty$ ), on a une impédance de valeur :  $Z(P_1) = R_p + R_s + jX_s$  dans le plan  $P_1$ , la partie resistive est à son maximum ce qui facilite l'extraction de la résistance  $R_p$ , directement du graphique (fig 2.2 a)

e) Le rapport  $r_s$ :

Pour une position quelconque du court-circuit l'impédance réduite dans le plan  $P_1$  :  $\underline{Z}(P_1) = r_s + jx_s + \frac{1}{\frac{1}{r_p} - j \left[ \frac{1}{x_A} + \frac{1}{n^2 \frac{Z_{02}}{Z_{01}} (x_B + tg \beta_2 l)} \right]}$

$$\text{avec } r_s = \frac{R_s}{Z_{01}} ; \quad x_s = \frac{X_s}{Z_{01}}$$

$$x_A = \frac{x_A}{Z_{01}} ; \quad x_B = \frac{x_B}{Z_{02}}$$

cherchons le maximum de réactance :

$$\text{posons } a = \frac{1}{r_p} \quad \text{et} \quad x = \frac{1}{x_A} + \frac{1}{n^2 \frac{Z_{02}}{Z_{01}} (x_B + tg \beta_2 l)}$$

$$\frac{1}{a-jx} = \frac{a}{a^2+x^2} + j \frac{x}{a^2+x^2}, \quad \text{et soit } f(x) = \frac{x}{a^2+x^2}$$

La fonction  $f(x)$  possède des extréma pour  $x = \pm a$ .

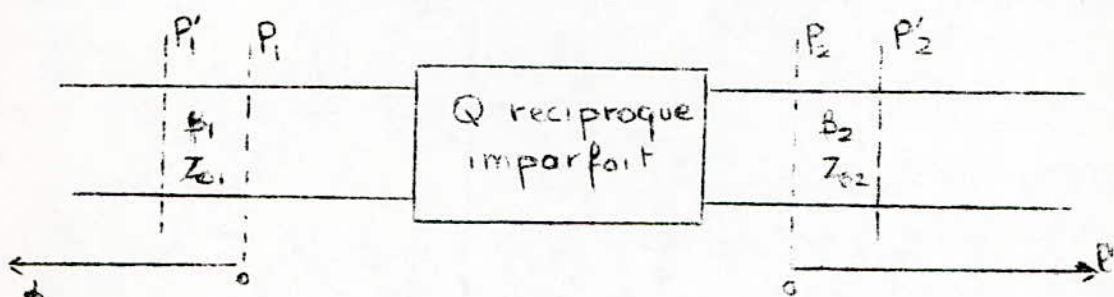
Le maximum est donné pour  $x = a$  ( $\frac{\partial^2 f}{\partial x^2}(x=a) < 0$ ) d'où la relation

$$\frac{1}{r_p} = \frac{1}{x_A} + \frac{1}{n^2 \frac{Z_{02}}{Z_{01}} (x_B + tg \beta_2 l)} \quad \text{d'où}$$

$n^2 = \frac{r_p x_A}{(x_A - r_p) \frac{Z_{02}}{Z_{01}} (x_B + tg \beta_2 l)}$
--

### 2.3 Représentation par circuit canonique:

on a vu qu'un quadripôle imparfait et réciproque peut être représenté par un circuit, dit de Weissflock, de six paramètres ( $r_s, r_p, z_s, z_A, z_B$  et  $n$ ). On peut trouver deux plans particuliers qui permettent d'amener à quatre le nombre de paramètres à déterminer : le nouveau circuit est dit circuit canonique.



$P_1$  et  $P_2$  sont deux plans arbitraires.

$P'_1$  et  $P'_2$  sont les deux plans entre lesquels on a le circuit canonique représenté ci-dessous:

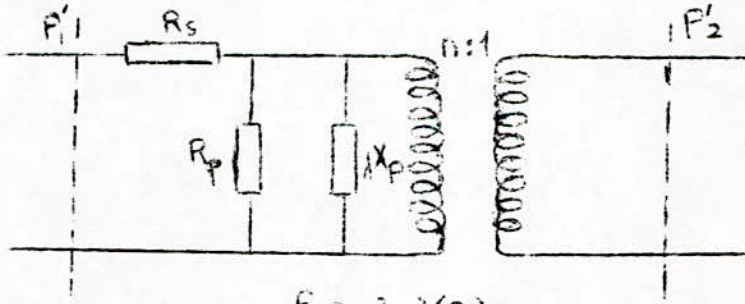


Fig. 2.3(a)

Pour déterminer les éléments de ce circuit l'on se rapporte au

plan complexe du coefficient de réflexion  $\beta$ . Pour cela :

- on place un court-circuit mobile à la sortie du quadripôle; et pour différentes positions on mesure le coefficient de réflexion  $\beta$ , dans le plan  $P'_1$ ; on obtient alors, alors, un cercle (O). (les valeurs de  $\beta$  sont limitées par le cercle  $|\beta| = 1$ )

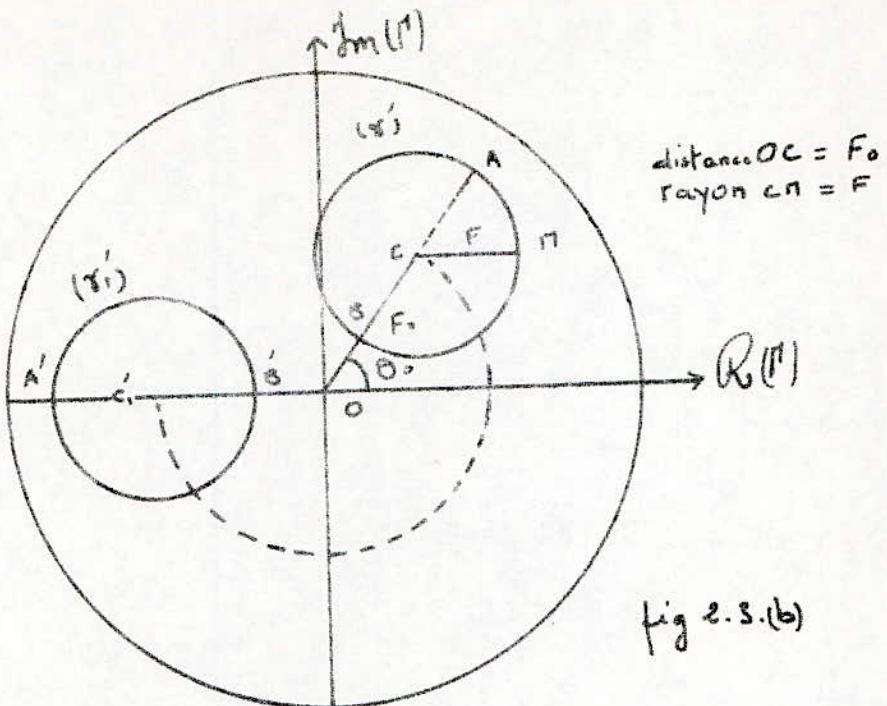


fig 2.3.(b)

### 2.3.2 Détermination des éléments du circuit:

a) Le plan  $P'_1$ :

Pour cela on déplace  $(\gamma')$  de façon à ramener son centre sur l'axe réel de l'fig 2.3.(b), on obtient alors le cercle  $(\gamma'_1)$ , Le déplacement est effectué vers le générateur avec un angle  $\theta = \theta_0 + \pi$  qui correspond à  $2\beta_1 d_0$ :

$$2\beta_1 d_0 = \theta_0 + \pi \quad \text{d'où } d_0 = \frac{\lambda}{4\pi} (\theta_0 + \pi)$$

L'abscisse  $d = d_0$  donne la position du plan  $P'_1$

b) La résistance  $R_S$ :

$j_{A'} = -(F_0 + F)$  est réel négatif fig. 2.3.(b)

$$j_A' = -(F_0 + F) \quad j_B' = -(F_0 - F) \quad j_{A'} = \frac{z-1}{z+1} = -(F_0 + F)$$

$z$  doit être réelle. Sur l'abaque de Smith le point  $A'$  correspond à  $z_{\min}$  réelle :  $z_{\min} = r_S$  d'où  $\frac{r_S-1}{r_S+1} = -(F_0 + F) \Leftrightarrow r_S = \frac{1+j_{A'}}{1-j_{A'}}$

$$r_S = \frac{1-(F_0+F)}{1+(F_0+F)}$$

c) la resistance  $R_p$ :

au point B l'impédance réduite  $\underline{z}(P_1)$  est réelle et maximale. Elle vaut:

$$\underline{z}_{\max} = r_s + r_p = \frac{1 - (F_0 - F)}{1 + (F_0 - F)} \quad \text{d'où} \quad R_p = Z_0, r_p = Z_0 \cdot \frac{4 F}{(1 + F_0)^2 - F^2}$$

d) le plan  $P'_2$ :

supposons qu'on ait trouvé  $P'_2$ : un court-circuit en  $P'_2$  donne, en  $P'_1$ ,  $\underline{z} = r_s$ . Pour avoir  $P'_2$ , il suffit de déplacer le court-circuit de manière à retrouver sur le cercle (C) - au plan  $P_1$  - la valeur  $\rho_A$  du coefficient de réflexion : la position  $\ell$  du court-circuit donne  $P'_2$ .

e) la réactance  $x_p$ :

On se déplace, à partir de  $P'_2$ , de  $\frac{\lambda}{4}$  vers la droite ( $\ell > 0$ ); on a, alors,

en  $P'_2$  une charge infinie qui, ramenée aux bornes de  $x_p$ , donne

au plan  $P'_1$  une impédance réduite:  $\underline{z}(P'_1) = r_s + \frac{j r_p x_p}{r_p + j x_p}$

On mesure, en  $P'_1$ , le coefficient de réflexion  $\rho$ :

Il correspond sur la fig 2.3 b au pt  $\rho'_e$ . On a alors l'expression

de l'impédance:  $\underline{z}_e = \frac{1 + \rho'_e}{1 - \rho'_e} \quad \text{d'où} \quad \frac{1}{\underline{z}_e - r_s} = \frac{1}{r_p} - \frac{j}{x_p}$

f) le rapport  $n$ :

on change la position du court-circuit de manière à obtenir, en  $P'_1$ ,

le coefficient de réflexion  $\gamma = \rho'_B$ . En cette position nous avons :

$j x_p // n^2 j Z_{02} \operatorname{tg} \beta_2 (\ell_e - \ell_0) = \infty$  puisque  $\underline{z}(P'_1) = r_s + r_p$  en d'autres termes

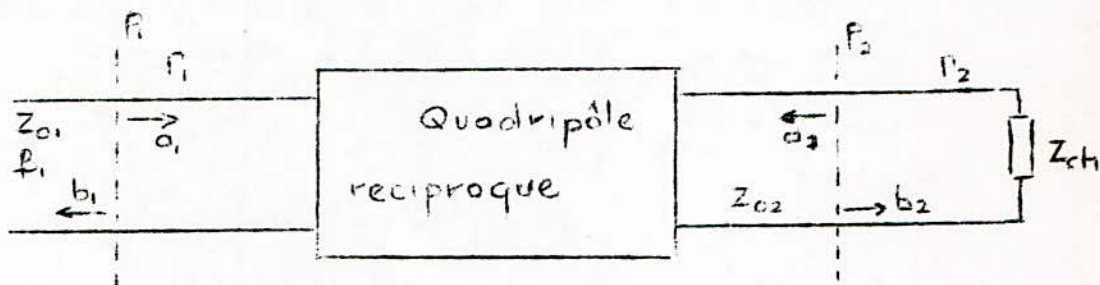
$$j(Z_{01} x_p + n^2 Z_{02} \operatorname{tg} \beta_2 (\ell_B - \ell_0)) = 0 \quad \text{d'où} \quad n^2 = - \frac{Z_{01}}{Z_{02}} \cdot \frac{x_p}{\operatorname{tg} \beta_2 (\ell_B - \ell_0)}$$

### III MÉTHODES de MESURE:

① Méthodes de mesure des  $S_{ij}$  des Q micro-ondes:

3.1 méthodes des 3 points:

Pour déterminer les  $S_{ij}$  d'un quadripôle réciproque on utilise, dans cette méthode, un court-circuit mobile et une charge adaptée.



$\Gamma_1$  : coefficient de réflexion au plan  $P_1$ .

$\Gamma_2$  : " " " au niveau de la charge.

$$\Gamma_1 = b_1/a_1 \quad ; \quad \Gamma_2 = a_2/b_2$$

d'autre part

$$\left\{ \begin{array}{l} b_1 = S_{11}a_1 + S_{12}a_2 \\ b_2 = S_{21}a_1 + S_{22}a_2 \end{array} \right.$$

En combinant les équations précédentes on arrive à :

$$\Gamma_1 = S_{11} + \frac{S_{12}^2 \Gamma_2}{1 - S_{22}\Gamma_2}$$

on mesure  $\Gamma_1$  pour les cas suivants :

a)  $Z_{ch} = 0$  donc  $\Gamma_{2ad} = -1$

b)  $Z_{ch} = \infty$  d'où  $\Gamma_{2co} = 1$

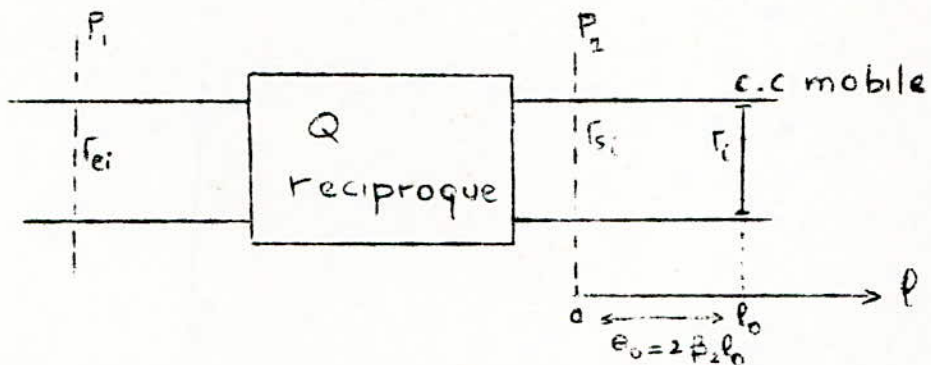
c)  $Z_{ch} = Z_{02}$  (adaptation) donc  $\Gamma_{2ad} = 0$

on en tire :  $S_{11} = \Gamma_{1ad}$

$$S_{22} = \frac{2\Gamma_{1ad} - (\Gamma_{1cc} + \Gamma_{1co})}{\Gamma_{1cc} - \Gamma_{1co}} \quad ; \quad S_{12}^2 - S_{11}S_{22} = \frac{2\Gamma_{1cc}\Gamma_{1co} - \Gamma_{1ad}(\Gamma_{1cc} + \Gamma_{1co})}{\Gamma_{1cc} - \Gamma_{1co}}$$

### 3.2 Méthode des 4 points:

on utilise, dans cette méthode, le principe d'un court-circuit mobile.



Sont:

$r_1$ : le coefficient de réflexion en  $P_1$

$r_{s1}$ : " " " en  $P_2$

$r_2$ : " " " niveau du court-circuit

on mesure les coefficients de réflexion  $r_i$  correspondants à quatre positions du court-circuit mobile distantes de  $\lambda/8$ .

$$\text{on a: } r_{s1} = r_i e^{-2j\beta l_i} \quad (i = 1, 2, 3, 4)$$

$$\text{le 1er point: } l_1 = l_0 \quad \text{et } 2\beta l_1 = 2\beta l_0 \quad (\beta = \beta_2)$$

$$\text{le 2ème point: } l_2 = l_0 + \frac{\lambda}{8} \quad \text{et } 2\beta l_2 = 2\beta l_0 + \frac{\pi}{2}$$

$$\text{le 3ème point: } l_3 = l_0 + 2 \cdot \frac{\lambda}{8} \quad \text{et } 2\beta l_3 = 2\beta l_0 + \pi$$

$$\text{le 4ème point: } l_4 = l_0 + 3 \cdot \frac{\lambda}{8} \quad \text{et } 2\beta l_4 = 2\beta l_0 + \frac{3\pi}{2}$$

comme  $r_i = -1$  quel que soit la position du court-circuit mobile,

$$\text{on a: } r_{s1} = -e^{-2j\beta l_0}; \quad r_{s2} = j e^{-2j\beta l_0}; \quad r_{s3} = e^{-2j\beta l_0}; \quad r_{s4} = -j e^{-2j\beta l_0}$$

posons:  $\theta_0 = 2 \beta \ell_0$

comme  $\Gamma_e = S_{11} + \frac{S_{12}^2 \Gamma_s}{1 - S_{22} \Gamma_s}$  on a:

$$\Gamma_{e1} = S_{11} - \frac{S_{12}^2 e^{j\theta_0}}{1 + S_{22} e^{j\theta_0}} ; \quad \Gamma_{e2} = S_{11} + j \frac{S_{12}^2 e^{-j\theta_0}}{1 - j S_{22} e^{j\theta_0}}$$

$$\Gamma_{e3} = S_{11} + \frac{S_{12}^2 e^{-j\theta_0}}{1 - S_{22} e^{j\theta_0}} ; \quad \Gamma_{e4} = S_{11} - j \frac{S_{12}^2 e^{-j\theta_0}}{1 + j S_{22} e^{j\theta_0}}$$

et posons:  $F_1 = \frac{1}{4} [(\Gamma_{e1} - \Gamma_{e3}) + j(\Gamma_{e2} - \Gamma_{e4})]$

$$F_2 = \frac{1}{4} [(\Gamma_{e1} - \Gamma_{e3}) - j(\Gamma_{e2} - \Gamma_{e4})]$$

$$F_3 = \frac{1}{4} [(\Gamma_{e1} + \Gamma_{e3}) - (\Gamma_{e2} + \Gamma_{e4})]$$

$$F_4 = \frac{1}{4} [(\Gamma_{e1} + \Gamma_{e3}) + (\Gamma_{e2} + \Gamma_{e4})]$$

on en tire:

$$F_1 = - \frac{S_{12}^2 e^{j\theta_0}}{1 - (S_{22} e^{j\theta_0})^4}, \quad F_2 = F_1 \cdot S_{22}^2 e^{-2j\theta_0}$$

$$F_3 = -F_1 \cdot S_{22} \cdot e^{j\theta_0}, \quad F_4 = S_{11} - F_1 \cdot (S_{22} e^{j\theta_0})^3$$

Finallement:

$$S_{11} = F_4 - \frac{F_2 F_3}{F_1}$$

$$S_{22} = - \frac{F_3}{F_1} \cdot e^{j\theta_0}; \quad S_{12}^2 e^{j\theta_0} = -F_1 \left(1 - \left(\frac{F_3}{F_1}\right)^2\right)$$

### 3.3 Méthode des 2 points (dite quart d'onde):

C'est une simplification de la méthode des quatre points, applicable si  $|S_{22}|^2 \ll 1$ .

\* Procédure :

- On met un court-circuit en  $F_2$  et on mesure le coefficient de réflexion  $S_{e1}$  à l'entrée (en  $F_1$ ).
- Puis on déplace le court-circuit de  $\lambda/4$ , vers la droite, à partir de  $F_2$ : il y a donc un circuit ouvert en  $F_2$ . On mesure le coefficient de réflexion  $S_{e2}$ .

$$S_{e1} = S_{11} - \frac{S_{12}^2}{1 + S_{22}}$$

$$S_{e2} = S_{11} + \frac{S_{12}^2}{1 - S_{22}}$$

$$S_{e1} - S_{e2} = \frac{-2 S_{12}^2}{1 - S_{22}^2} \approx -2 S_{12}^2 \quad (|S_{22}|^2 \ll 1)$$

$S_{22}$  faible

$$\text{d'où : } S_{12}^2 \approx \frac{1}{2} (S_{e2} - S_{e1})$$

Remarque : les différentes méthodes développées ici donnent de mauvais résultats pour les quadripôles à très grandes pertes ( $\Delta \geq 10 \text{ dB}$  environ)

### 3.4 méthode de Deschamps:

#### 3.4.1 description:

on utilise, dans cette méthode, comme charge variable un court-circuit mobile.

le schéma du montage ne change pas et comporte toujours le quadripôle, le court-circuit mobile et les deux plans arbitraires  $P_1$  (à l'entrée) et  $P_2$  (à la sortie).

cette méthode est basée sur la transformation bilinéaire qui lie l'impédance de sortie à l'impédance d'entrée d'un quadripôle quelconque. Elle est valable pour les quadri-pôles dissipatifs ou non.

#### 3.4.2 Propriétés de la transformation:

la relation qui lie le coefficient de réflexion à l'entrée du quadripôle au coefficient de réflexion à la sortie peut être écrite:

$$T_E = S_{11} + \frac{S_{12} S_{21} / s}{1 - S_{22} / s} \quad 3.4.2 (1)$$

il s'agit d'une relation de type homographique

on considère dans le plan de la variable complexe  $s$  deux faisceaux de circonférences orthogonales:

- d'une part le faisceau de cercles ( $X$ ) centres sur l'origine
- d'autre part le faisceau de droites de puissance par l'origine (fig 3.4.2 (a))

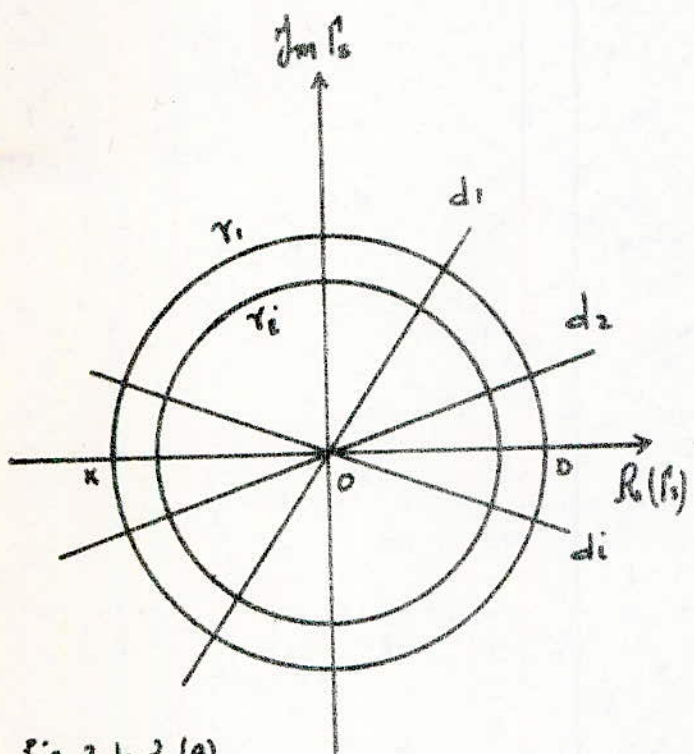


fig 3.4.2 (a)

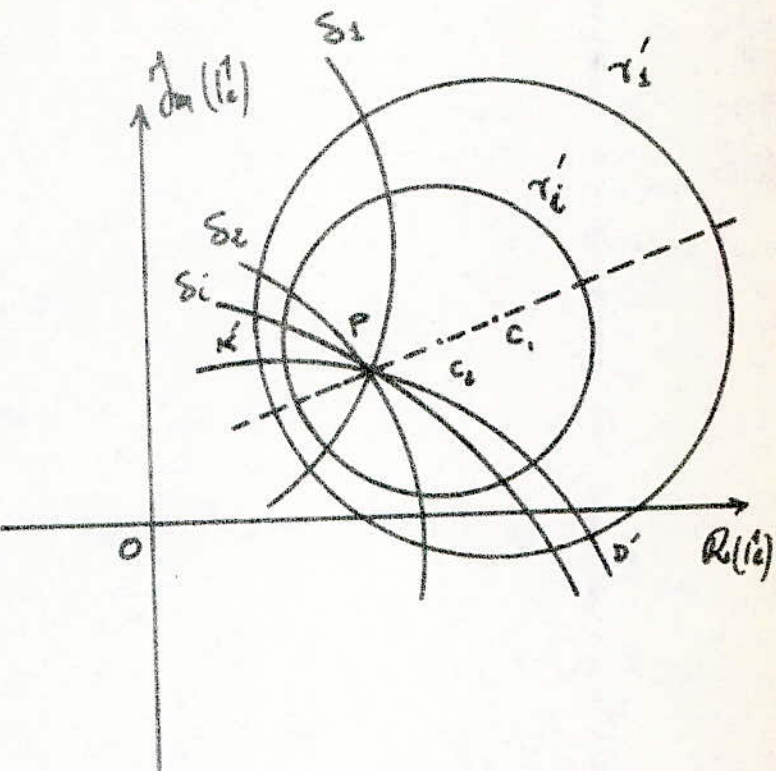


fig 3.4.2 (b)

Ces deux faisceaux sont transformés par la relation 3.4.2 (1) en deux faisceaux de circonférences orthogonales notés ( $\gamma_i$ ) et ( $\delta_i$ ) occupant une position quelconque dans le plan  $\beta_s$  fig 3.4.2 (b)

Les circonférences  $\delta_i$  passent toutes par deux points  $P$  et  $P'$  qui sont les transformés respectivement de l'origine et du point  $\beta_s = 1$ , le point  $P$  est appelé iconocentre.

En pratique pour des charges passives le domaine utile du plan  $\beta_s$  est l'intérieur de la circonference  $\gamma_1$  de rayon égal à l'unité, il correspond à des charges réactives. La partie utile dans le plan  $\beta_s$  est l'intérieur de la circonference  $\gamma_1$ .

### 3.4.3 Procédure:

en place, comme charge, un court-circuit mobile, et pour huit positions du court-circuit distantes de  $\lambda/16$ , on mesure le coefficient de réflexion à l'entrée  $P_1$  correspondant. Les plans  $P_1$  et  $P_2$  sont choisis quelconques.

### 3.4.4 Détermination des éléments $S_{ij}$ :

#### a) 1<sup>er</sup> méthode:

- l'icône centre  $P$  correspond à  $\tilde{t}_s = 0$  :  $P$  est le transformé de 0 l'origine du plan  $\tilde{t}_s$ .

$$S_{11} = 0P \quad (1)$$

- le point  $K'$ , correspondant à un court-circuit en  $P_2$  ( $\tilde{t}_s = -1$ ), est donné par:

$$OK' = S_{11} - \frac{S_{12}^2}{1 + S_{22}} \quad (2)$$

- le point  $D'$  transformé de  $D$  (D étant un circuit ouvert en  $P_2$ ) est donné par:

$$OD' = S_{11} + \frac{S_{12}^2}{1 - S_{22}} \quad (3)$$

A l'aide de (1), (2) et (3) on tire:

$$S_{22} = \frac{PK' + PD'}{K'D'}$$

$$S_{12}^2 = -(1 + S_{22})PK'$$

b) 2<sup>eme</sup> méthodes:

Supposons qu'on ait trouvé deux plans  $P'_1$  et  $P'_2$  pour lesquels  $s_{11}$  et  $s_{22}$  sont réels.

( $1 + s_{22}$ ) et ( $1 - s_{22}$ ) sont donc réelles, les derniers termes de (2) et (3) ont pour phase celle de  $s_{12}^2$ . Les vecteurs correspondants à ces termes - dans le plan  $\Gamma_c$  - c'est à dire  $PK'$  et  $PD'$  se trouvent sur une même droite. Comme la transformation, qui nous fait passer des coefficients de réflexion du plan  $\Gamma_s$  aux coefficients de réflexion du plan complexe  $\Gamma_c$ , est bilinéaire cette droite doit couper le cercle ( $\gamma'$ ) en deux angles droits. La seule droite - intérieure au cercle - coupant le cercle en deux angles droits passe par le diamètre alors les points  $C, P, K'$  et  $D'$  sont colinéaires.

Le diamètre du cercle ( $\gamma'$ ) est donné par la somme  $(PD' + (-PK'))$

Le rayon est donné par:  $R = \frac{1}{2} |PD' + K'P|$  (voir fig 3.4.40)

$$R = \frac{|s_{12}|^2}{1 - s_{22}^2}, \text{ de même } |PC| = |PD' - RI|, |PC| = \frac{s_{22}|s_{12}|^2}{1 - s_{22}^2}$$

$$\text{D'où } |s_{11}| = |PO|, |s_{22}| = \frac{|PC|}{R} \text{ et } |s_{12}|^2 = R(1 - s_{22}^2)^2$$

Pour les arguments on a :

La ligne  $K'D'$  est parallèle au vecteur  $s_{12}^2$  ainsi l'angle  $\ell \theta_{12}$  est donné par :

$$\ell \theta_{12} = \text{Arg}(s_{12}^2) = (\overrightarrow{OD}, \overrightarrow{K'D'})$$

Les angles  $\theta_{11}$  et  $\theta_{22}$  sont nuls par le choix des plans  $P_1$  et  $P_2$ , mais pour des plans quelconques ( $s_{11}$  et  $s_{22}$  ne sont pas réels)  $\theta_{11}$  est donné par l'angle duquel il faut déplacer le cercle  $(\tilde{\gamma})$  de manière à rendre  $s_{11}$  réel (fig 3.4.4.(b))

Enfin on montre (Deschamps : J. Appl. Phys. Vol. 24. 1953) que pour des plans quelconques dans le cas général (fig 3.4.4.(c)) :

$$\theta_{11} = \text{Arg}(s_{11}) = (\overrightarrow{OD}, \overrightarrow{OP}), \quad \theta_{22} = \text{Arg}(s_{22}) = (\overrightarrow{PC}, \overrightarrow{CD''}), \quad \ell \theta_{12} = \text{Arg}(s_{12}^2) = (\overrightarrow{OD}, \overrightarrow{CD''})$$

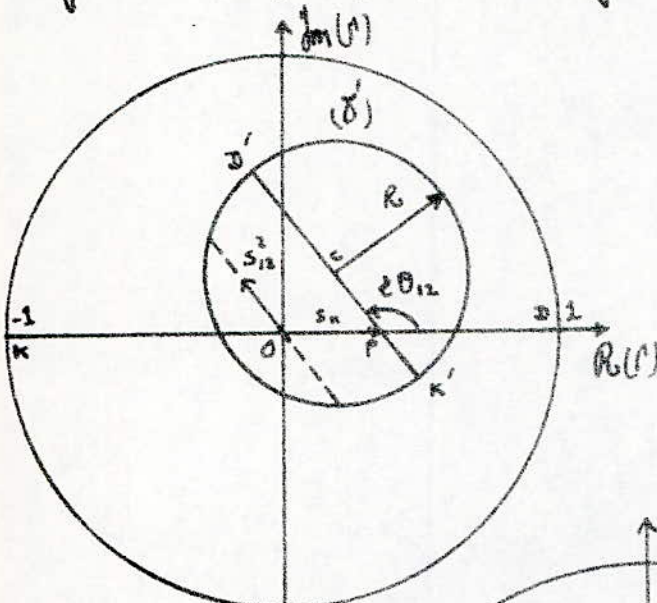


fig 3.4.4 (a)

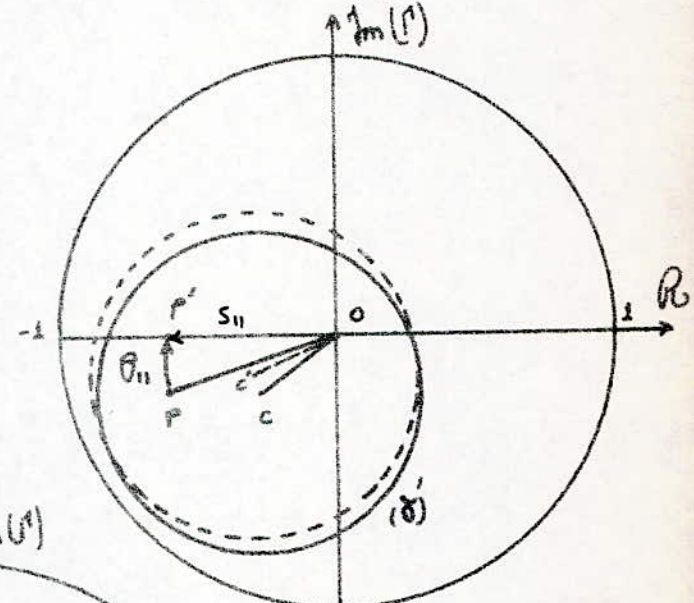


fig 3.4.4.(b)

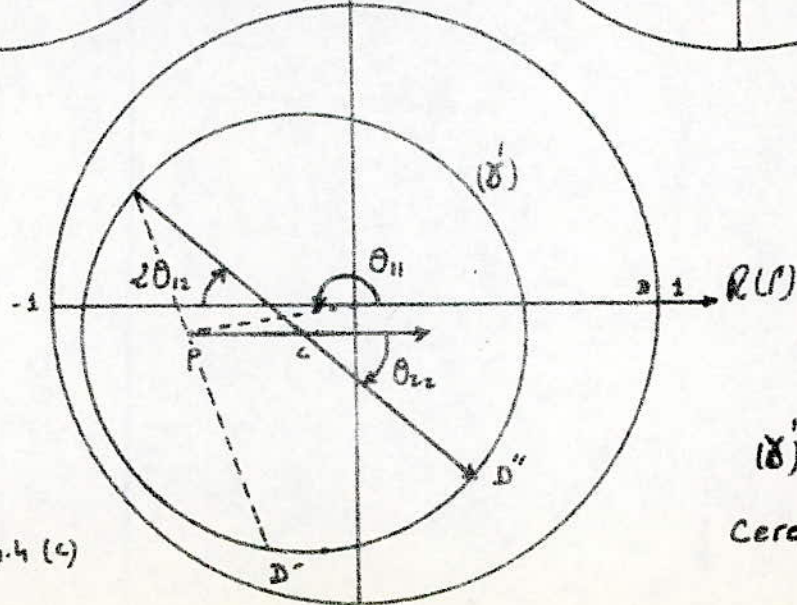


fig 3.4.4 (c)

$(\tilde{\gamma})$  : transformé du  
Cercle  $|P'|=1$

## IV Exemples de représentation: (montage en page 72)

### 4.1 quadripôles sans pertes

desadaptation faible	desadaptation forte
① méthode du transformateur $P'_1 = 56.1 \text{ mm}$ $P'_2 = 11.14 \text{ mm}$ $n^2 = 1.2$	<p style="text-align: center;"><u>verification</u></p> $\begin{cases} \Im(P'_1) = 0.3 + j0.38 \\ n^2 \Im(P'_1) = 0.312 + j0.514 \end{cases}$
	$P'_1 = 54$ $P'_2 = 9.45$ $n^2 = 3.3$
	<p style="text-align: center;"><u>verification</u></p> $\begin{cases} \Im(P'_1) = 1.1 + j1.4 \\ n^2 \Im(P'_1) = 1.05 + j2.3 \end{cases}$
② méthode des tangentes $P'_1 = 56.2 \text{ mm}$ $P'_2 = 11.17 \text{ mm}$ $n^2 = 1.21$	<p style="text-align: center;"><u>verification</u></p> $\begin{cases} \Im(P'_1) = 0.26 + j0.42 \\ n^2 \Im(P'_1) = 0.31 + j0.5 \end{cases}$
	$P'_1 = 54$ $P'_2 = 9.7$ $n^2 = 3.5$
	<p style="text-align: center;"><u>verification</u></p> $\begin{cases} \Im(P'_1) = 1.1 + j1.9 \\ n^2 \Im(P'_1) = 1.12 + j2.36 \end{cases}$
③ méthode des 3 points: $S_{11} = 0.095 \angle 100.65^\circ$ $S_{22} = 0.1 \angle -26.84^\circ$ $S_{12}^2 = 0.99 \angle 270^\circ$	$S_{11} = 0.579 \angle 71.3^\circ$ $S_{22} = 0.6 \angle -40.6^\circ$ $S_{12}^2 = 0.659 \angle 80.13^\circ$
④ méthode des 4 points: $S_{11} = 0.09 \angle 108.8^\circ$ $S_{22} = 0.092 \angle -18.2^\circ$ $S_{12}^2 = 0.99 \angle 304^\circ$	$S_{11} = 0.568 \angle 74^\circ$ $S_{22} = 0.591 \angle -40.8^\circ$ $S_{12}^2 = 0.67 \angle 71^\circ$
⑤ méthode de Deschamps: $S_{11} = 0.12 \angle 121^\circ$ $S_{22} = 0.12 \angle -30^\circ$ $S_{12}^2 = 0.98 \angle 273.4^\circ$	$S_{11} = 0.7 \angle 82^\circ$ $S_{22} = 0.7 \angle -13.5^\circ$ $S_{12}^2 = 0.65 \angle 69^\circ$

Conclusion:

les mesures effectuées sur le quadripôle réciproque et sans pertes montrent, après comparaison (à l'aide d'une charge connue), que les deux méthodes - celle du transformateur et des tangentes - donnent des résultats identiques pour une grande désadaptation; par contre pour une faible désadaptation la méthode des tangentes est légèrement meilleure. Mais pour une plus faible désadaptation la différence entre les deux méthodes serait plus nette, les méthodes des points donnent des résultats assez appréciables si on tient compte de toutes les erreurs (erreur humaine, erreur introduite par l'appareil...)

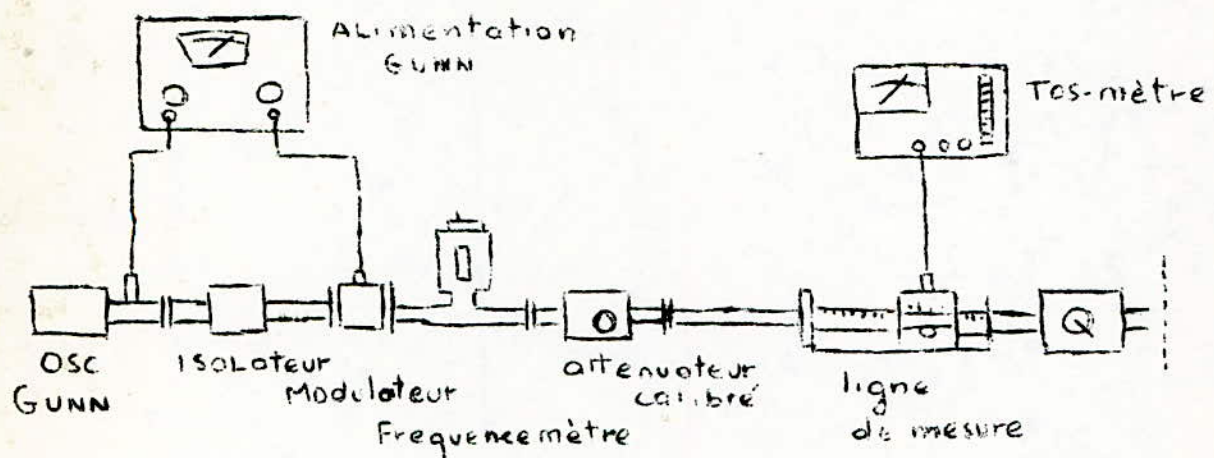
## 4.2 Quadripôles avec pertes:

atténuation: 1.42 dB	atténuation 4 dB
④ méthode des 3 points	
$S_{11} = 0.35 \quad   \underline{115.3}$	$S_{11} = 0.375 \quad   \underline{122.7}$
$S_{22} = 0.3 \quad   \underline{-81.1}$	$S_{22} = 0.053 \quad   \underline{84.25}$
$S_{12}^2 = 0.63 \quad   \underline{30.1}$	$S_{12}^2 = 0.076 \quad   \underline{123.3}$
② méthode des 4 points	
$S_{11} = 0.369 \quad   \underline{-61.2}$	$S_{11} = 0.375 \quad   \underline{122.7}$
$S_{22} = 0.268 \quad   \underline{-86}$	$S_{22} = 0.072 \quad   \underline{50}$
$S_{12}^2 = 0.613 \quad   \underline{27.5}$	$S_{12}^2 = 0.072 \quad   \underline{137}$
③ méthode de Deschamps	
$S_{11} = 0.365 \quad   \underline{123.5}$	$S_{11} = 0.472 \quad   \underline{123}$
$S_{22} = 0.3 \quad   \underline{-85}$	$S_{22} = 0.1 \quad   \underline{-151}$
$S_{12}^2 = 0.627 \quad   \underline{33}$	$S_{12}^2 = 0.099 \quad   \underline{136}$
④ circuit de Weissflock	
$x_s = 0.3$	$x_s = 0.36$
$r_s = 0.1$	$r_s = 0.32$
$r_p = 3.15$	$r_p = 0.23$
$x_A = -0.229$	
$n^2 = 0.05$	
$x_B = 3.833$	
⑤ circuit canonique	
$P'_1 = 70.1 \text{ mm}$	$P'_1 = 69.9$
$P'_2 = 16.14 \text{ mm}$	$P'_2 = 12$
$r_s = 0.081$	$r_s = 0.282$
$r_p = 3.17$	$r_p = 0.178$
$x_p = 2.2$	$x_p = 0.06$
$n^2 = 0.614$	$n^2 = 0.003$

conclusion:

les mesures effectuées sur le quadripôle avec pertes nous ont montré que pour des très faibles  $\sqrt{\text{pertes}}$  ( $d \leq 1.5 \text{ dB}$ ) les méthodes utilisées donnent des résultats satisfaisants - sensiblement les mêmes - mais pour des pertes plus importantes ( $d > 4 \text{ dB}$ ) les méthodes donnent des résultats à peine acceptables. Pour le circuit de Weissfisch, par exemple, la valeur du rapport de transformation n'est pas atteinte.

MONTAGE UTILISE :

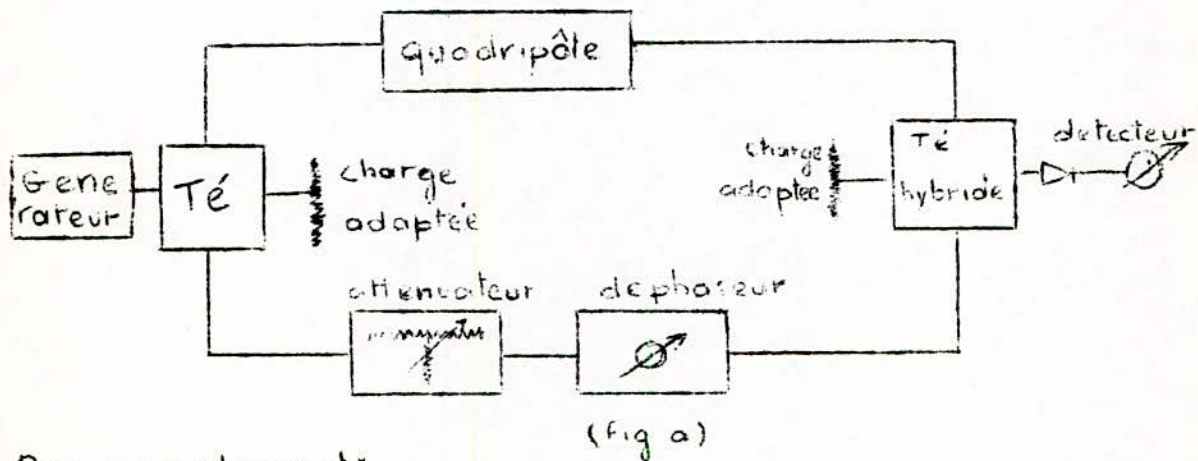


| charge adaptée

| court-circuit  
variable

Ce montage permet de mesurer le coefficient de réflexion à l'entrée du quadripôle en utilisant la ligne de mesure et le Tos-mètre.

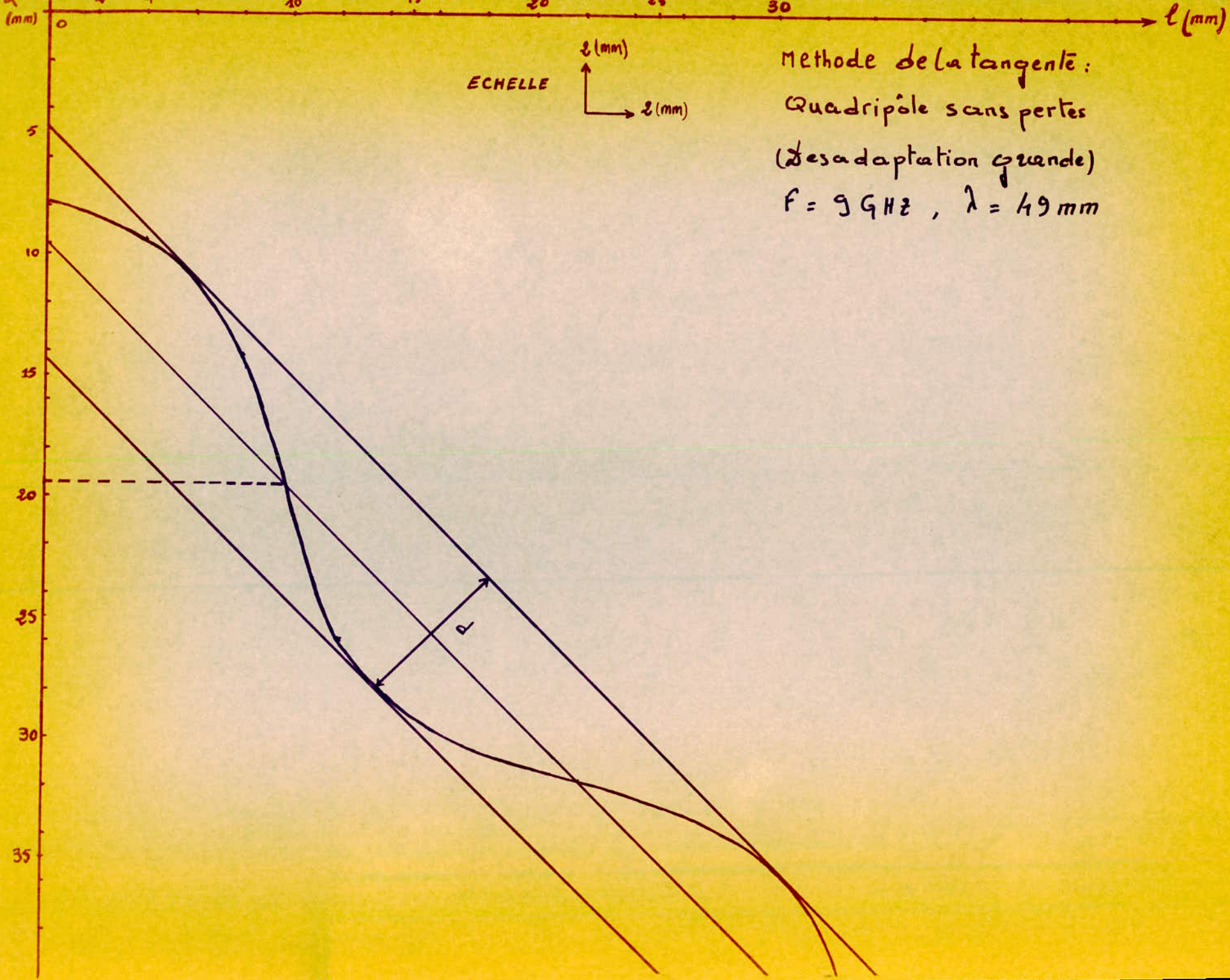
4.3 méthode de mesure pour les quadripôles à grandes pertes:  
 les méthodes de mesure décrites jusqu'ici sont valables pour  
 des quadripôles réciproques sans pertes, avec pertes faibles  
 ou moyennes. Mais à mesure que les pertes augmentent  
 ces méthodes deviennent de plus en plus imprécises : on  
 utilise, dans ce cas, un pont hyperfréquence (fig a)

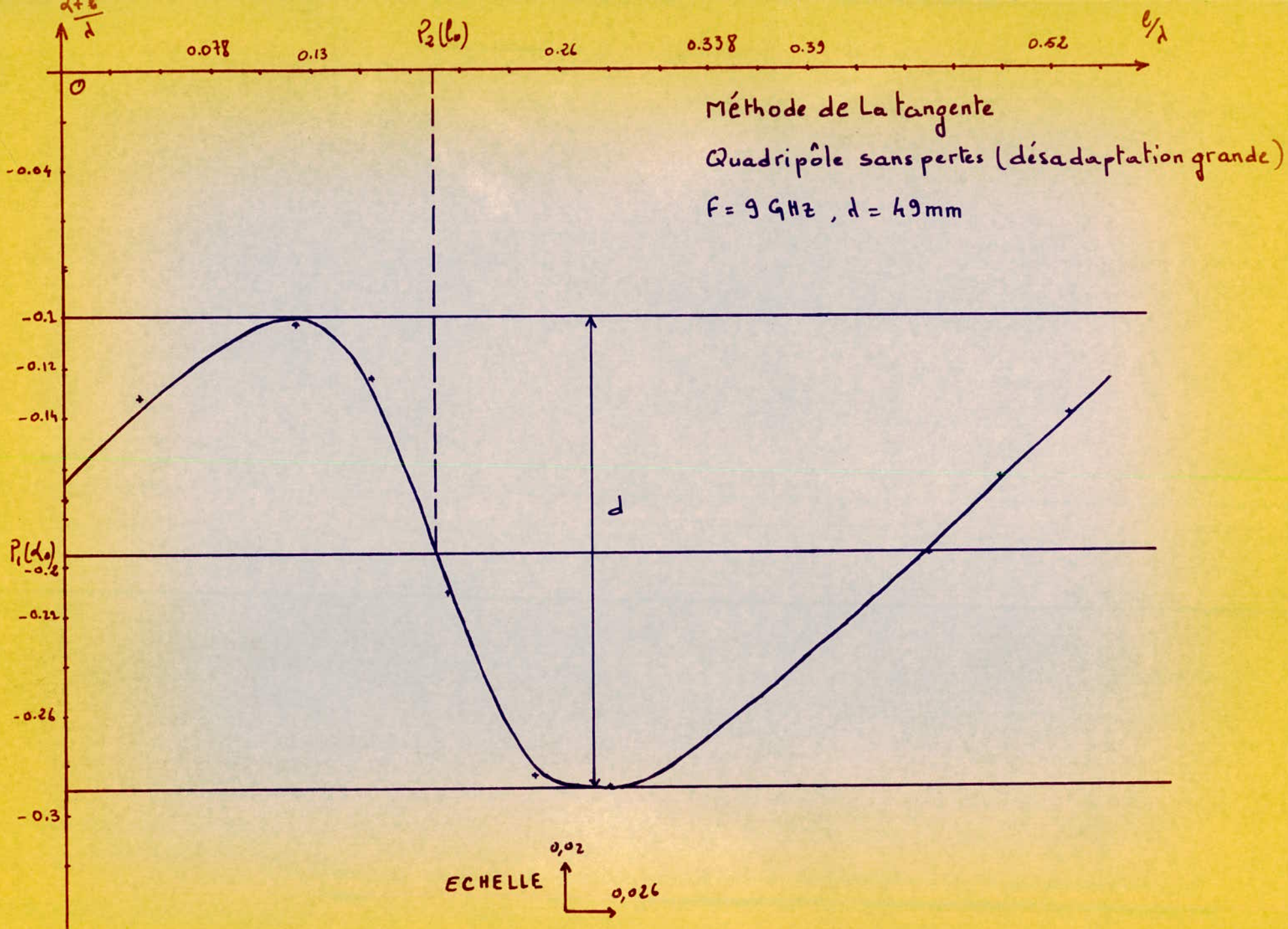


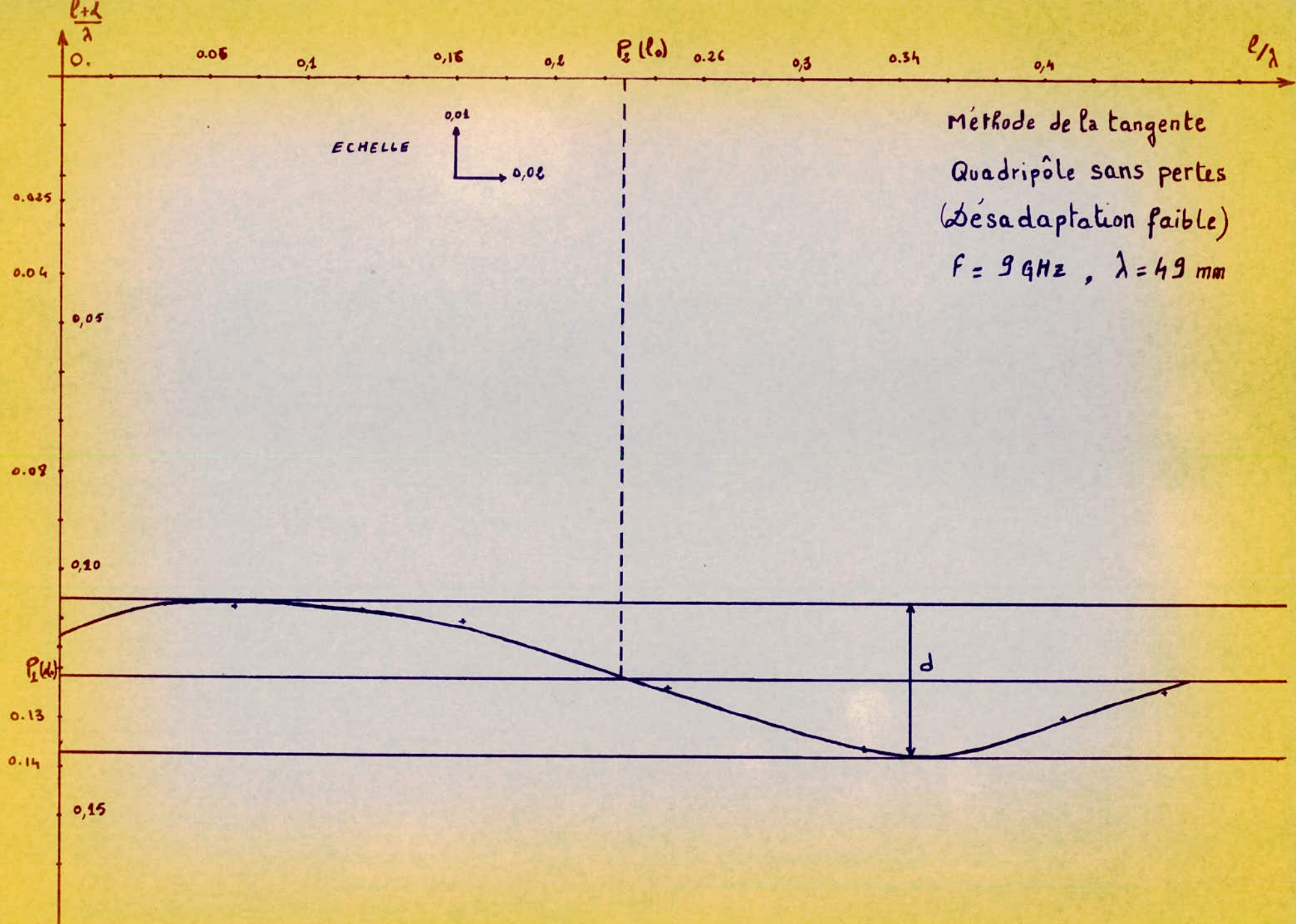
Principe du pont :

le signal issu du générateur est divisé, à l'aide d'un té en 2 parties.  
 L'une parcourt le quadripôle dont on veut mesurer les  $S_{ij}$ , l'autre  
 une chaîne comprenant un atténuateur et un déphasage  
 réglables et calibrés. On recombine les deux signaux à l'aide  
 d'un té hybride et l'on ajuste le déphasage et l'atténuateur  
 pour annuler le signal de sortie.

\* Remarque: on peut utiliser ce même montage (fig a) pour les mesures  
 des quadripôles non réciproques.

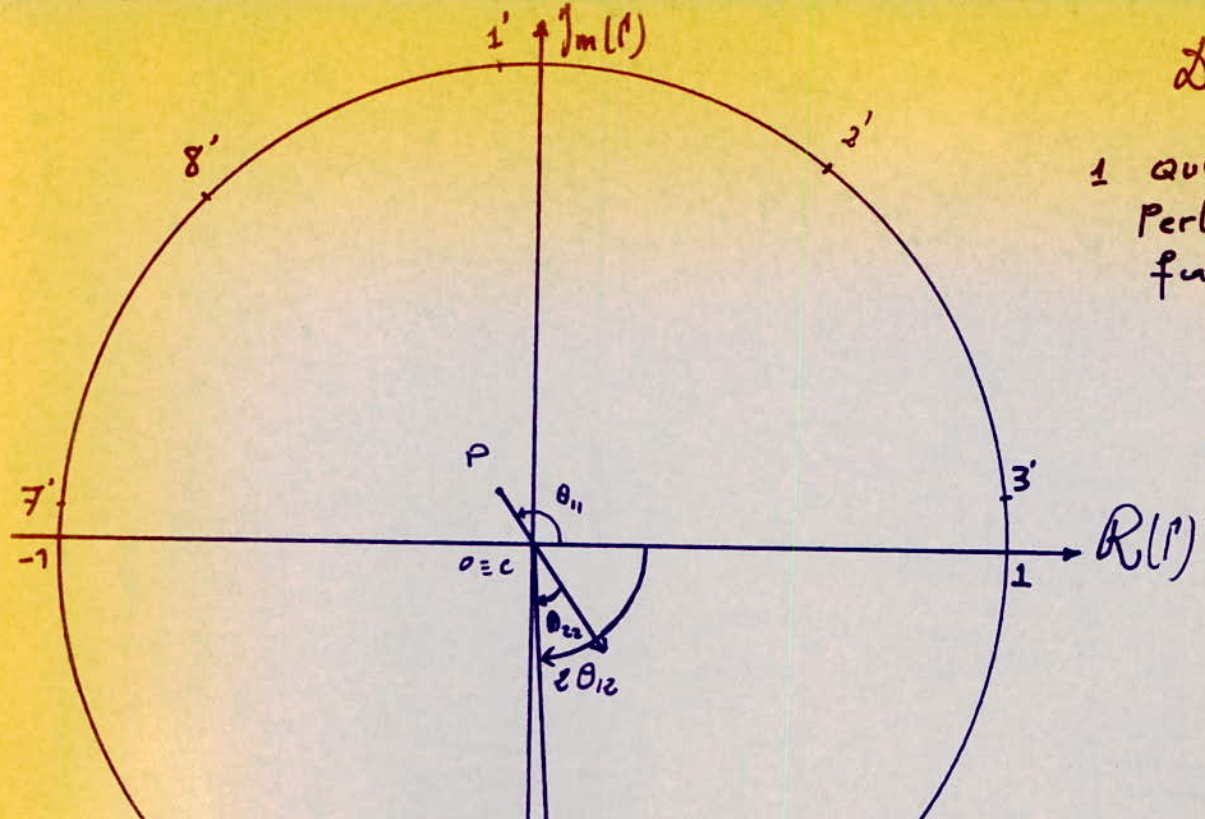






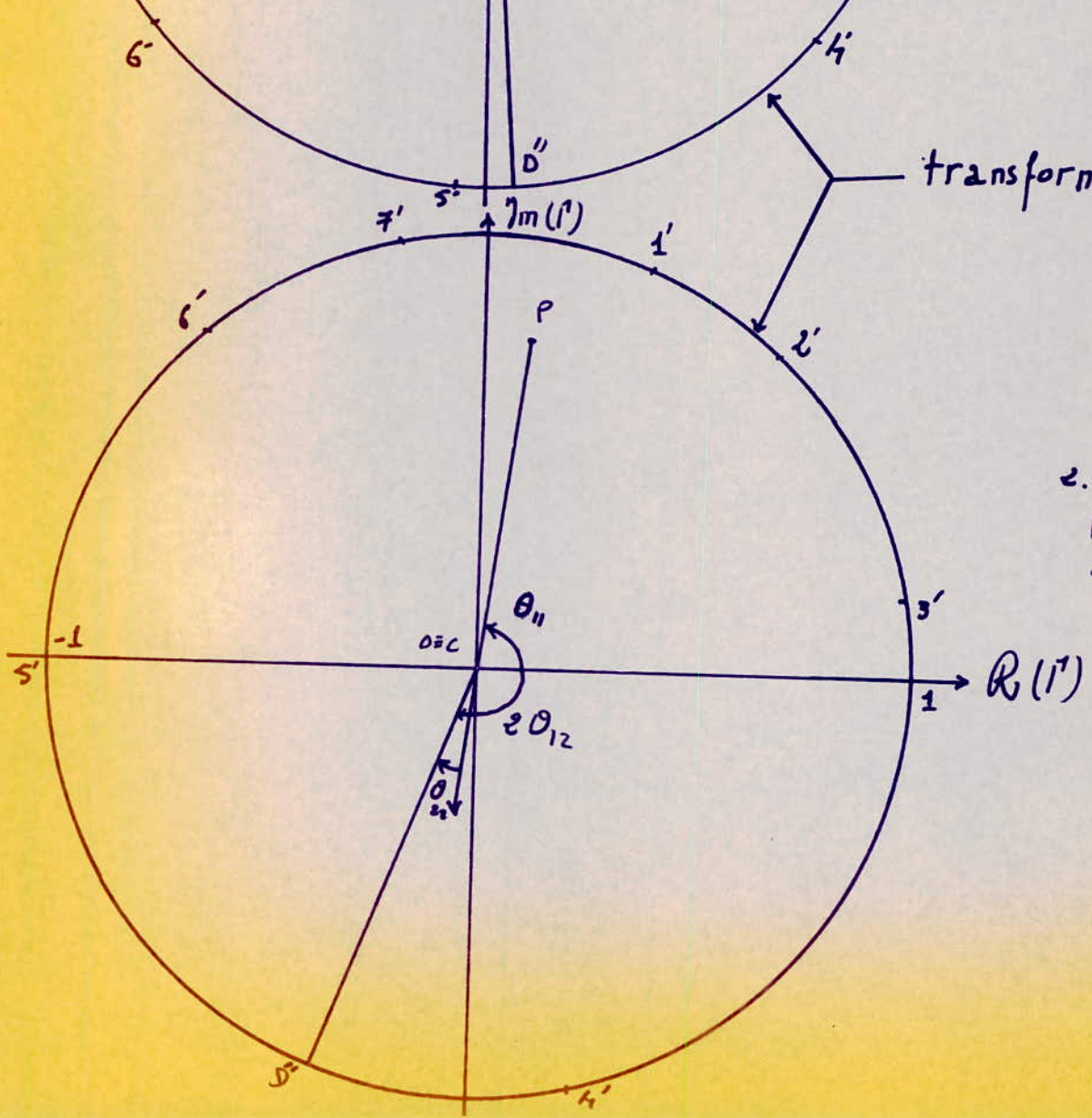
Déschamps:

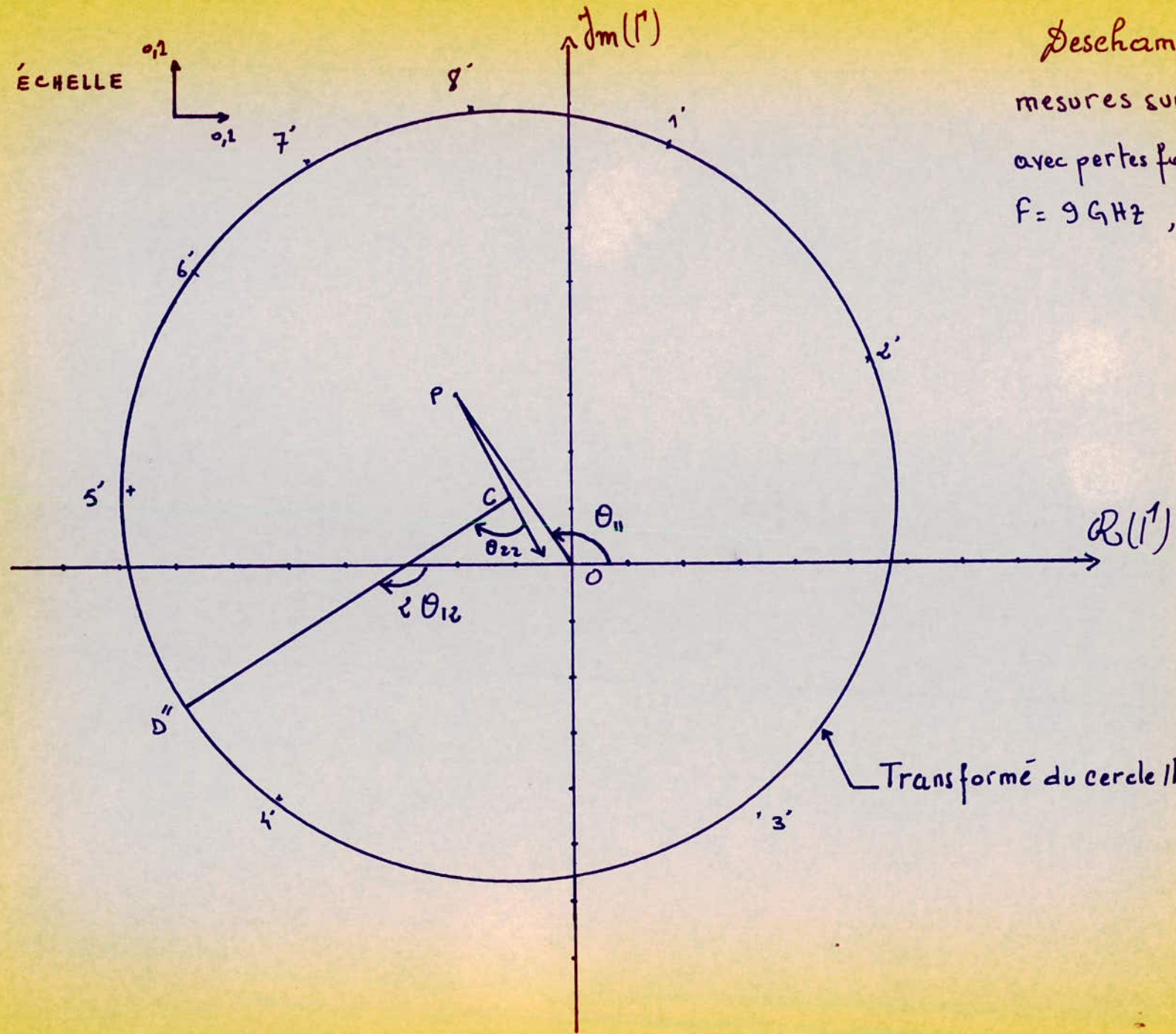
- 1 Quadripôle sans Pertes (désadaptation faible)



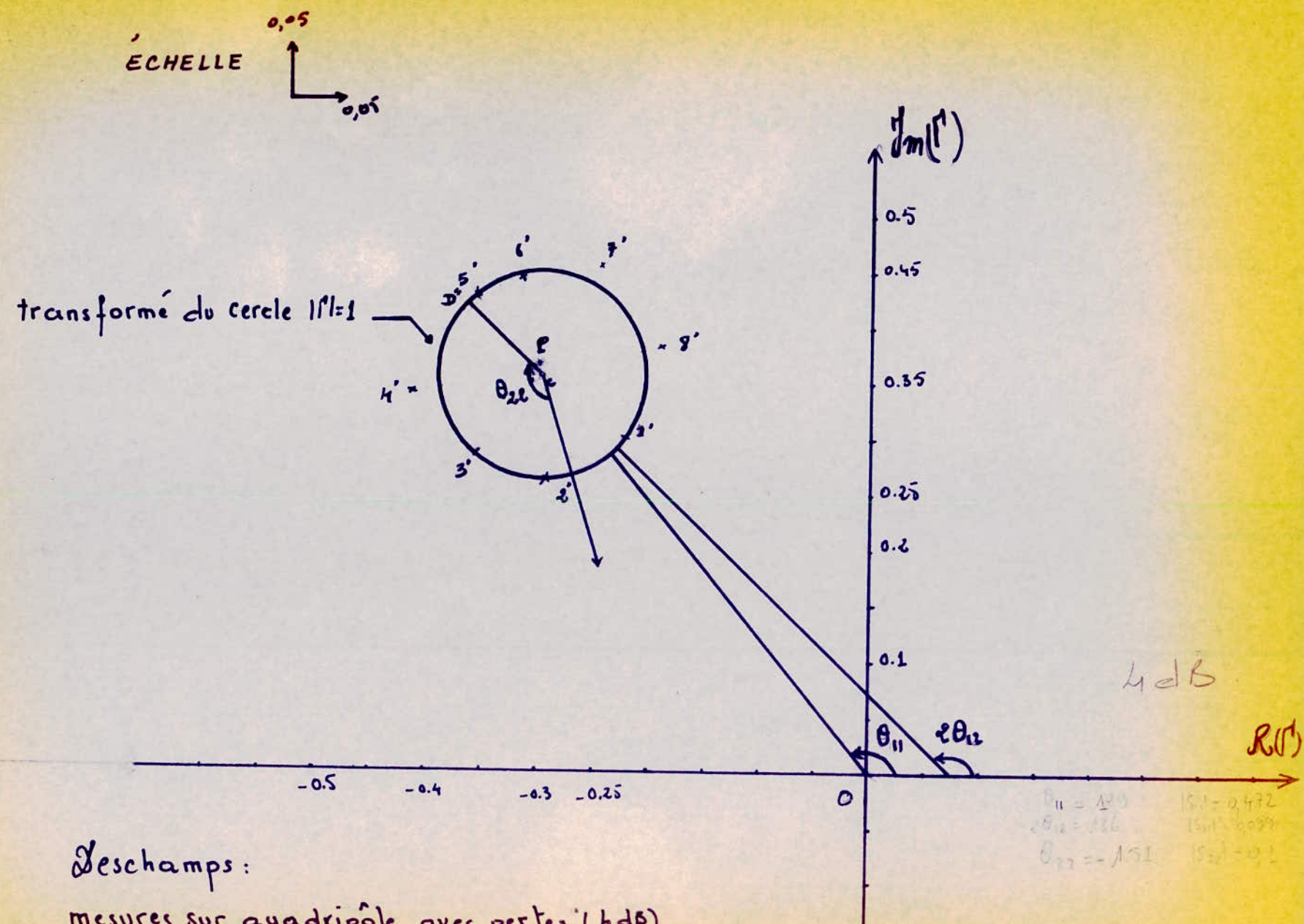
transformé du cercle  $|l'|=1$

2. Quadripôle sans pertes (désadapt. grande)





Deschamps :  
mesures sur quadripôle  
avec pertes faibles (1,42 dB)  
 $f = 9 \text{ GHz}$ ,  $\lambda = 49 \text{ mm.}$

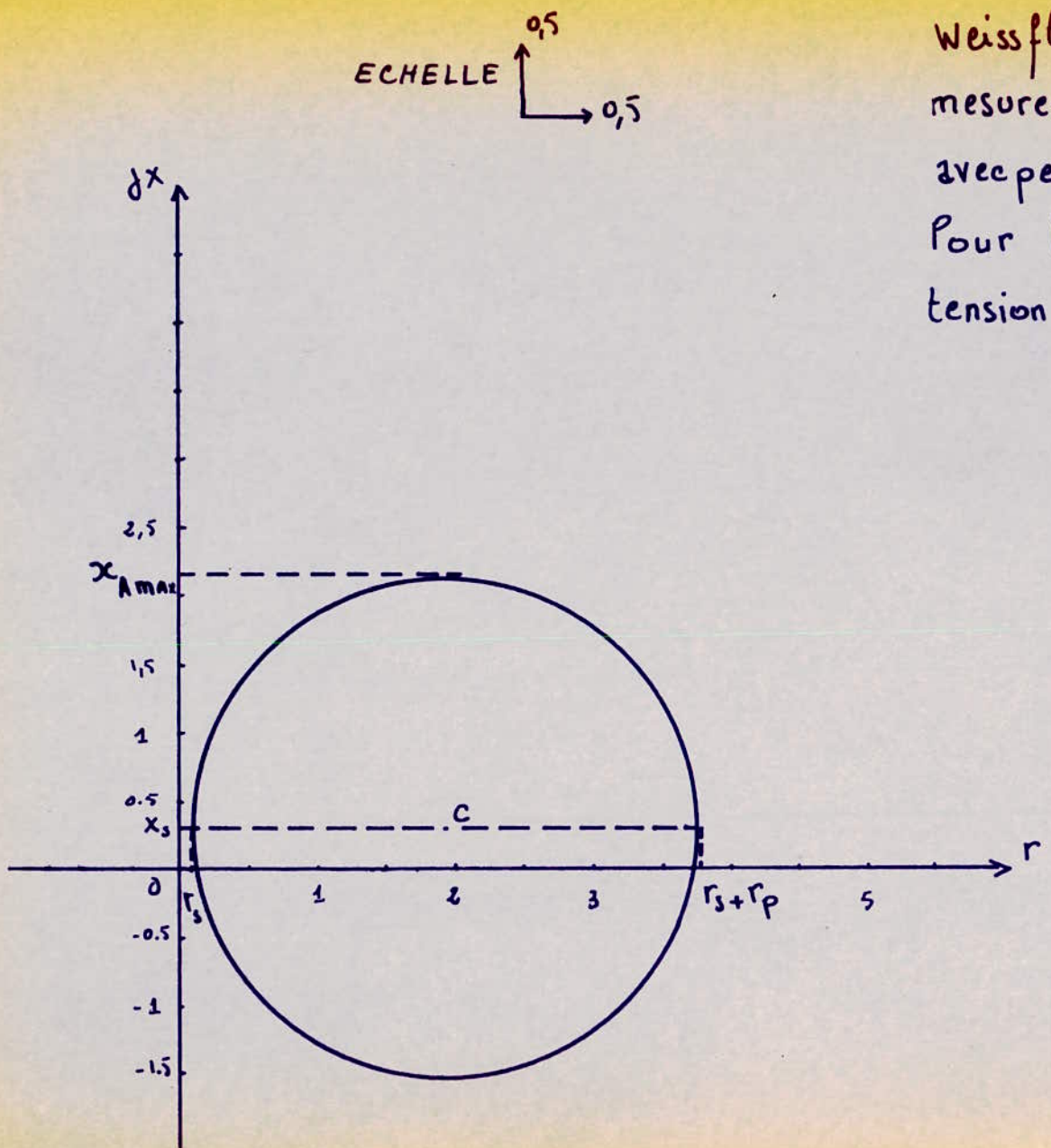


Deschamps :

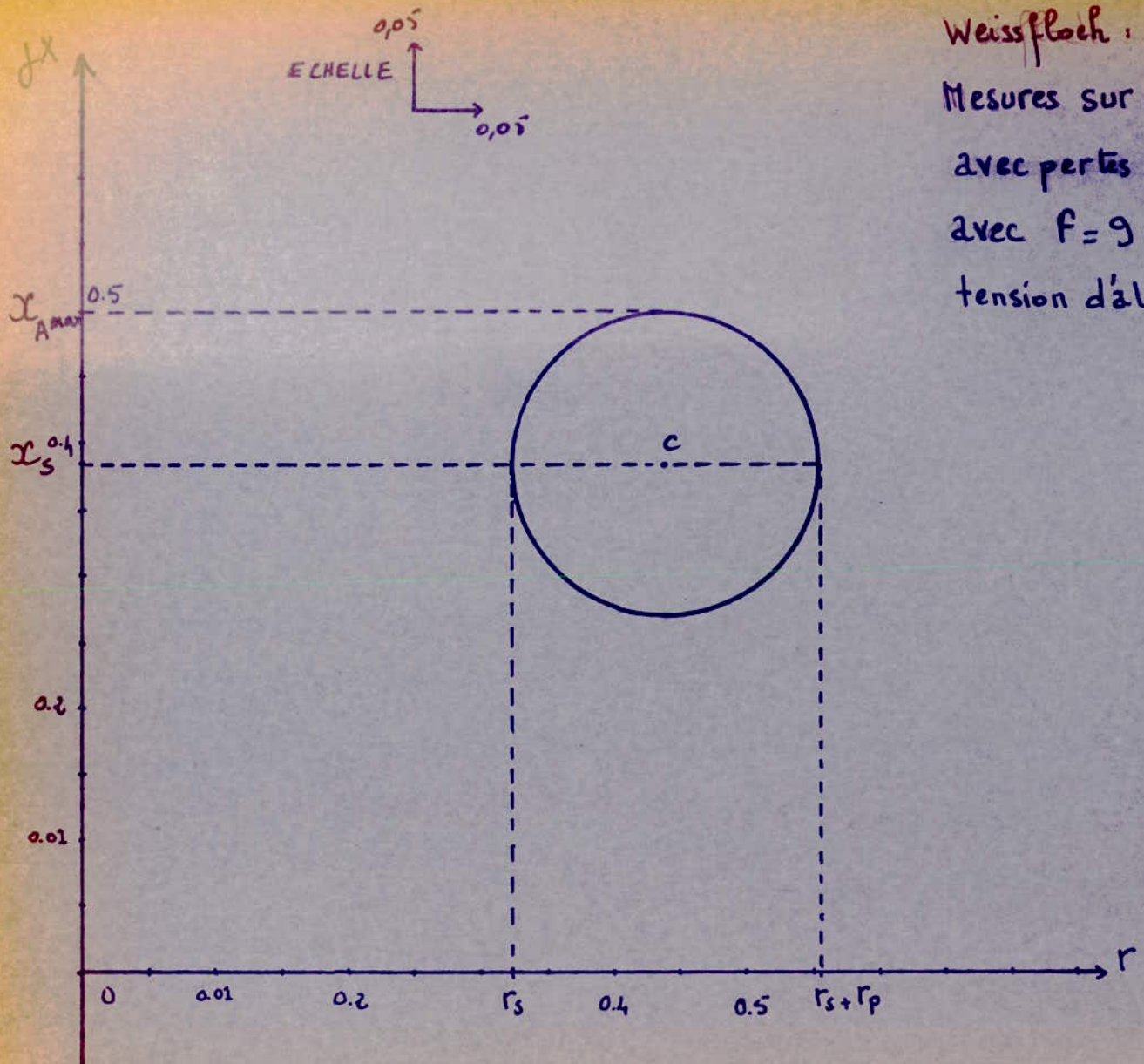
mesures sur quadripôle avec pertes (hdB)

Pour  $F = 9 \text{ GHz}$ ,  $\lambda = 49 \text{ mm}$

$$\begin{aligned}
 \theta_{11} &= 45^\circ & S_1 &= 0.472 \\
 \theta_{12} &= 136^\circ & S_{11} &= 0.039 \\
 \theta_{21} &= -151^\circ & S_{12} &= -0.1 \\
 \theta_{22} &= 151^\circ & S_{21} &= 0.1
 \end{aligned}$$



Weissflock:  
mesures sur  $\wedge$  quadripôle réciproque  
avec pertes (1,42 dB)  
Pour  $f = 9 \text{ GHz}$ ,  $\lambda = 49 \text{ mm}$   
tension d'alim.: 9V



Weissflock :

Mesures sur quadripôle réciproque  
avec pertes (HdB)  
avec  $f = 9 \text{ GHz}$ ,  $\lambda \approx 49 \text{ mm}$   
tension d'alim. 9V.

## Conclusion GENERALE:

Plusieurs méthodes ont été utilisées afin de caractériser un quadripôle réciproque, dissipatif ou non, à l'aide de la matrice ou à l'aide de schémas équivalents. Chacune de ces méthodes présente des avantages et des inconvénients. Le choix de l'une de ces méthodes dépend de plusieurs facteurs, en particulier:

a) du matériel disponible

b) des propriétés du quadripôle à mesurer.

c) de la rapidité et des erreurs propres à la mesure

on peut noter que dans le cas des quadripôles sans pertes, mais à forte désadaptation, les deux méthodes - du transformateur et de la tangente - donnent des résultats comparables. Toutefois la méthode du transformateur est la plus rapide et la plus simple.

Cependant quand la désadaptation introduite devient faible alors la méthode de la tangente devient plus intéressante et

donne de meilleures résultats. Pour ce qui est de la mesure des éléments d'un quadripôle réciproque avec ou sans pertes,

on constate que la méthode des 3 points est plus simple et donc plus rapide, malheureusement elle fournit des résultats sensibles

aux erreurs de mesure (la charge n'étant pas parfaitement adaptée, erreur due à l'enfoncement,...). La méthode des 4 points donne des résultats plus intéressants que celle des 3 points puisqu'on utilise que le court-circuit mobile mais elle nécessite beaucoup de calcul. La méthode de Deschamps s'avère plus précise et plus avantageuse parce que d'une part on n'utilise que le court-circuit mobile et d'autre part le nombre de mesure effectué est élevé : elle permet, ainsi, de détecter les erreurs (un ou 2 points aberrants) qu'on peut corriger donc les erreurs, les plus importantes, qu'on peut faire sont propres à la construction géométrique.

Dans le cas des quadripoles à grandes pertes, ces méthodes ne sont plus valables et on fait appel alors à des montages spéciaux tel le pont hyperfréquence que nous avons décrit (4.3)

## ANNEXE

## "TRAITEMENT NUMERIQUE de Données de Mesure"

nous avons vu que la méthode de Deschamps donnait, au plan  $P_1$  à l'entrée, des points régulièrement distribués sur une courbe de forme circulaire quand on faisait varier la valeur de la charge dans le plan  $P_2$ . Comme la théorie prévoit un cercle il serait bon d'optimiser les résultats de mesure en cherchant le cercle passant par le plus grand nombre de points. Une fois, le cercle obtenu on corrige les points de mesure : les nouveaux points serviront alors pour le calcul des  $S_{ij}$  ou quadrupole. Dans ce dessein, on utilise la méthode de Gauss-Seidel dont on donne l'algorithme.

### algorithme:

A l'aide des trois points de mesure choisis on évalue les paramètres approximatifs du cercle optimum à savoir le rayon  $R_1$  et les coordonnées  $X_1$  et  $Y_1$  du centre. Puis l'on choisira deux intervalles suivant  $x$  et suivants plus ou moins grand (selon la précision  $\epsilon$  voulue) de part et d'autre du centre. Puis on opère de la manière suivante :

1. On fixe la valeur de l'ordonnée  $y$  et on essaie de trouver ou plutôt on cherche l'abscisse  $x$  qui donne la meilleure approximation au sens des moindres carrés, en calculant pour chaque abscisse  $x$  la nouvelle valeur du rayon  $R$ .
2. On garde la meilleure valeur de l'abscisse et on fait varier  $y$  en calculant  $R$  pour chaque nouvelle ordonnée - jusqu'à trouver toujours la meilleure approximation.

3. Si la précision voulue est atteinte, on se dirige vers le calcul des nouvelles coordonnées des points de mesure ( $C_1, Y_1, C_2, Y_2, \dots$ ); sinon on recommence le calculant en gardant fixe la valeur de  $y$  qui a donné la meilleure approximation.

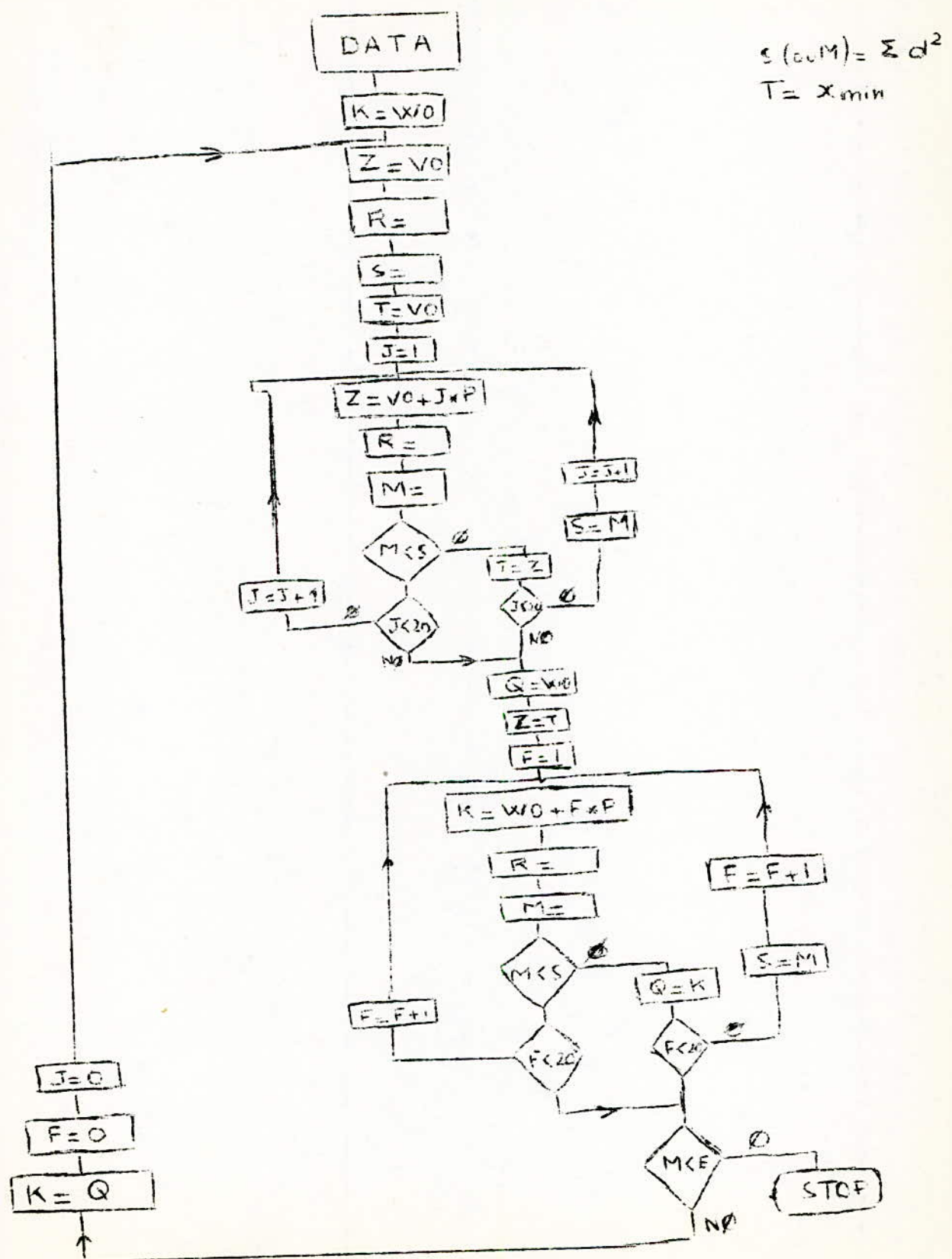
\* Formules Utilisées:

- le carré de la distance entre un point de mesure et un point sur le cercle optimum est:  
$$d^2 = \left( \sqrt{(X(I)-Z)^2 + (Y(I)-K)^2} - R \right)^2$$
- + C'est la somme des  $d^2$  qu'on veut rendre minimale: pour cela on annule la dérivée première. On obtient, alors, la valeur de  $R$  sans cesse calculée dans le programme :

$$R = \frac{1}{n} \sum_{i=1}^n \sqrt{(X(I)-Z)^2 + (Y(I)-K)^2}$$

- le programme, donné par la suite, est écrit en langage Basic, un langage simple utilisé sur l'ordinateur "Appletwo".

• organigramme: cercle optimum par la méthode de Gauss-Seidel



- Programme -

```
1. REM cercle OPTIMUM
5. DIM X(8), Y(8)
10. READ X(1), X(2), X(3), X(4), X(5), X(6), X(7), X(8), Y(1), Y(2), Y(3), Y(4), Y(5), Y(6), Y(7), Y(8), E,
15. K2 = -(X(2)-X(1)) / (Y(2)-Y(1))
20. K3 = -(X(3)-X(1)) / (Y(3)-Y(1))
25. D = K3-K2
30. IF D=0 THEN 340
35. H2 = 0.5 * (Y(1)+Y(2)+(X(2)^2-X(1)^2)/(Y(2)-Y(1)))
40. H3 = 0.5 * (Y(1)+Y(3)+(X(3)^2-X(1)^2)/(Y(3)-Y(1)))
45. X1 = (H2-H3)/D
50. Y1 = (K3*H2-K2*H3)/D
55. R1 = SQR((X(1)-X1)^2+(Y(1)-Y1)^2)
60. V0 = X1 - R1/20
65. W0 = Y1 - R1/20
70. K = W0
75. Z = V0
80. GOSUB 290
85. GOSUB 315
90. S = G
95. T = V0
100. J = 1
105. Z = V0 + J * P
110. GOSUB 290
115. GOSUB 315
120. M = G
125. IF M < S THEN 150
130. IF J < 20 THEN 215
135. IF M < S THEN 150
140. GOTO 160
145. T = Z
150. IF J < 20 THEN 210
155. Q = W0
160. Z = T
165. Z = T
```

170.  $F = 1$   
175.  $K = W_0 + F * P$   
180. GOSUB 290  
185. GOSUB 315  
190.  $M = G$   
195 IF  $M < S$  THEN 225  
200 IF  $F < 20$  THEN 265  
205 GOTO 235  
210  $S = M$   
215  $J = J + 1$   
220 GOTO 115  
225  $Q = K$   
230 IF  $F < 20$  THEN 260  
235 IF  $M < E$  THEN 275  
240  $K = Q$   
245  $F = 0$   
250  $J = 0$   
255 GOTO 85  
260  $S = M$   
265  $F = F + 1$   
270 GOTO 175  
275 PRINT "X0 =", Z; "Y0 =", Q; "R0 =", R  
280 GOTO 345  
285 DATA  
290  $R = 0$   
295 FOR I=1 TO 8  
300  $R = R + (\text{SQR}((X(I)-Z)^2 + (Y(I)-K)^2))/8$   
305 NEXT I  
310 RETURN  
315  $G = 0$   
320 FOR I=1 TO 8

```

1. G = G + (R - SQR((X(I)-Z)^2 + (Y(I)-K)^2))^2
2. NEXT I
3. RETURN
4. PRINT "PTS ALIGNES PAS DE SOLUTION"
5. I = 1
6. GOSUB 470
7. PRINT "C1="; L; "Y1="; N
8. I = 2
9. GOSUB 470
10. PRINT "C2="; L; "Y2="; N

```

```

11. I = 8
12. GOSUB 470
13. PRINT "C8="; L; "Y8="; N
14. END
15. M2 = Z - X(I)
16. IF M2 = 0 THEN 540
17. U1 = (Q - Y(I)) / M2
18. U2 = (Q - Z * U1)

```

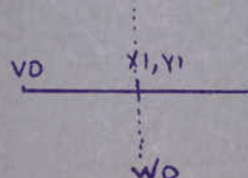
-6-

```

490. U3 = (R12) / (1 + U1 * 2)
495. K1 = Z + SQR(U3)
500. K2 = Z - SQR(U3)
505. A = (X(I) - K1)^2
510. B = (X(I) - K2)^2
515. IF A < B THEN 530
520. L = K2
525. GOTO 535
530. L = K1
535. N = U1 * L + U2
540. RETURN

```

Remarque: pour avoir la précision voulue - il suffit d'agir sur le pas P, la valeur de  $J_{\max}$  - respectivement  $F_{\max}$  - en tenant compte de:  $\frac{R_1}{10} = J_{\max}$ .  $P = \text{intervalle}$



"ALGORITHME du programme concernant la recherche des éléments Sij d'un Q"

- 1. On cherche l'intersection Q des droites passant par les points distant de  $\frac{1}{4}$  (1<sup>er</sup>, 2<sup>nd</sup>, etc...)
- Pour cela on cherche l'intersection de la 1<sup>er</sup> droite avec les 2<sup>nd</sup>, 3<sup>rd</sup> et 4<sup>th</sup> droite puis on cherche l'intersection de la 2<sup>nd</sup> avec la 3<sup>rd</sup> et 4<sup>th</sup> droite et ainsi de suite, enfin on cherche la moyenne des abscisses et des ordonnées  $x_Q$  et  $y_Q$  fig 1.1.

L'intersection de la I<sup>er</sup> droite avec la J<sup>th</sup> droite est donnée par :

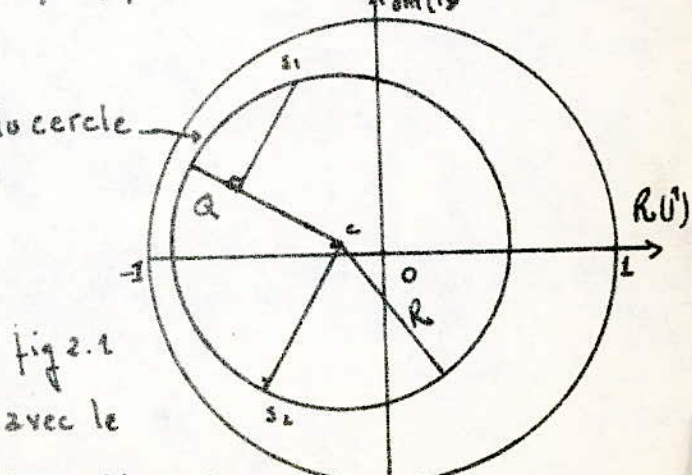
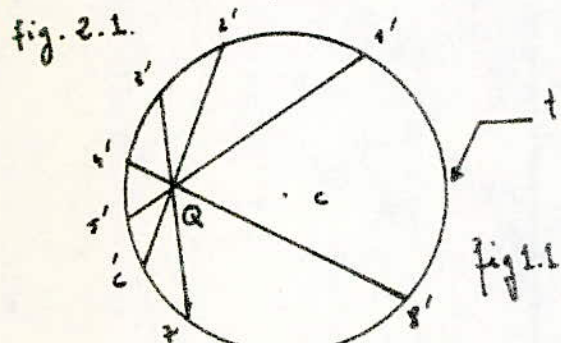
$$\text{Abscisse } Z(I,J) = \frac{\frac{y(1,J)x(2,J) - y(2,J)x(1,J)}{x(2,J) - x(1,J)} - \frac{y(1,I)x(4,I) - y(2,I)x(1,I)}{x(2,I) - x(1,I)}}{\frac{y(2,I) - y(1,I)}{x(2,I) - x(1,I)} - \frac{y(2,J) - y(1,J)}{x(2,J) - x(1,J)}}$$

$$\text{ordonnée } W(I,J) = \frac{(y(2,I) - y(1,I))Z(I,J) + y(1,I)x(2,J) - y(2,J)x(1,I)}{x(2,J) - x(1,J)}$$

La moyenne des abscisses et des ordonnées donne respectivement  $x_Q$  et  $y_Q$ .

## 2. Recherche des coordonnées de l'icônocentre

- On trace la droite  $y_{ac}$  passant par Q et C (avec C centre du cercle représentatif des impédances de sorties mesurées à l'entrée)  $x_c$  et  $y_c$  sont donnés par le 1<sup>er</sup> programme
- On trace deux perpendiculaires à cette droite ( $y_{ac}$ ) passant respectivement par A et C



- L'intersection de ces deux perpendiculaires avec le cercle donne deux points  $S_1$  et  $S_2$ , et enfin l'intersection des deux droites  $y_{ac}$  et  $y_{S_1, S_2}$  donne le point P appelé icônocentre

- 3 Calcul des modules  $|S_{11}|$ ,  $|S_{22}|$  et  $|S_{12}|^2$ :

$$|S_{11}| = \text{distance } OP, |S_{22}| = \frac{\text{distance } PC}{R}, |S_{12}|^2 = R (1 - |S_{22}|^2)$$

- 4. Calcul des arguments:  $\theta_{11}$ ,  $2\theta_{12}$ ,  $\theta_{22}$ .

Pour cela on trace la droite  $P\bar{O}'$  ( $\bar{O}'$  transformé du point  $t=1$ ) fig. 4.1.

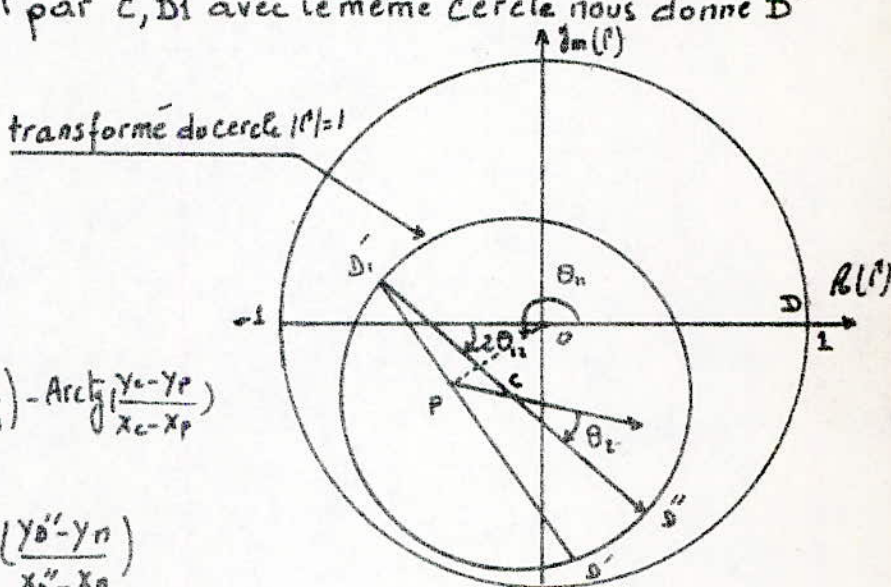
L'intersection de cette droite avec le cercle de centre  $C$  nous donne le Point  $\bar{O}_1$ , puis l'intersection de la droite passant par  $C, \bar{O}_1$  avec le même cercle nous donne  $\bar{D}''$

Alors:

$$\theta_{11} = \text{Arg } S_{11} = (\bar{O}D, OC) = \text{Arctg} \left( \frac{Y_D}{X_p} \right)$$

$$\theta_{22} = \text{Arg } S_{22} = (PC, CD'') = \text{Arctg} \left( \frac{Y_D'' - Y_n}{X_{D''} - X_n} \right) - \text{Arctg} \left( \frac{Y_n - Y_p}{X_n - X_p} \right)$$

$$2\theta_{12} = \text{Arg } S_{12}^2 = (\bar{O}D, CD'') = \text{Arctg} \left( \frac{Y_D'' - Y_n}{X_{D''} - X_n} \right)$$



Remarque:

Les coordonnées des huit points mesurés à l'entrée du quadripôle sont notées par:

$$1 \stackrel{\circ}{=} p \stackrel{\circ}{=} (x(1,1)) \quad 2 \stackrel{\circ}{=} p \stackrel{\circ}{=} (x(1,2)) \quad 3 \stackrel{\circ}{=} p \stackrel{\circ}{=} (x(1,3)) \quad 4 \stackrel{\circ}{=} p \stackrel{\circ}{=} (x(1,4))$$

$$5 \stackrel{\circ}{=} p \stackrel{\circ}{=} (x(2,1)) \quad 6 \stackrel{\circ}{=} p \stackrel{\circ}{=} (x(2,2)) \quad 7 \stackrel{\circ}{=} p \stackrel{\circ}{=} (x(2,3)) \quad 8 \stackrel{\circ}{=} p \stackrel{\circ}{=} (x(2,4))$$

- Le programme a été adapté à l'APPL II en langage basic.

- Le temps d'exécution du programme est approximativement de 30s, les résultats sont donnés avec une précision de  $10^{-4}$

= Programme donnant les éléments Sij d'un quadripôle avec pertes"

1 KEM ICO

5 DIM X(2,3), Y(2,3), U(2,3), V(2,3), W(2,3), Z(2,3), A(7), B(7), C(8), D(4), K(4)

10 KEBD X(1,1), X(1,2), X(1,3), X(2,1), X(2,2), X(2,3), Y(1,1), Y(1,2), Y(1,3), Y(2,1), Y(2,2)

Y(2,3), Xc, Yc, R

15 I = 1

20 J = 1

$$25 \text{ LET } U(I, J+1) = \frac{Y(1, J+1)X(2, J+1) - Y(2, J+1)X(1, J+1)}{X(2, J+1) - X(1, J+1)} - \frac{Y(1, I)X(2, I) - Y(2, I)X(1, I)}{X(2, I) - X(1, I)}$$

$$30 \text{ LET } V(I, J+1) = \frac{Y(2, I) - Y(1, I)}{X(2, I) - X(1, I)} - \frac{Y(2, J+1) - Y(1, J+1)}{X(2, J+1) - X(1, J+1)}$$

$$35 \text{ LET } Z(I, J+1) = \frac{U(I, J+1)}{V(I, J+1)}$$

$$40 \text{ LET } W(I, J+1) = \frac{(Y(2, J+1) - Y(1, J+1)) * Z(I, J+1) + (Y(1, J+1)X(2, J+1) - Y(2, J+1)X(1, J+1))}{X(2, J+1) - X(1, J+1)}$$

45 IF J > 2 THEN 60

50 J = J + 1

55 GOTO 25

60 IF I > 3 THEN 75

65 I = I + 1

70 GOTO 25

$$75 \text{ LET } XQ = (Z(1,2) + Z(1,3) + Z(2,3)) / J+1$$

$$80 \text{ LET } YQ = (W(1,2) + W(1,3) + W(2,3)) / J+1$$

$$85 \text{ LET } A(1) = (YQ - Yc) / (XQ - Xc)$$

$$88 \text{ LET } B(1) = (Yc * XQ - YQ * Xc) / (XQ - Xc)$$

$$90 \text{ LET } A(2) = 1 / A(1)$$

$$92 \text{ LET } B(2) = Y_C + X_C / A(1)$$

$$94 \text{ LET } B(3) = Y_Q + X_Q A(2)$$

$$96 \text{ LET } A(7) = 1 + \tilde{A}(2)$$

$$98 \text{ LET } C(1) = (X_C + A(2)(B(2) - Y_C)) / A(7)$$

$$100 \text{ LET } C(2) = ((B(2) - Y_C)^2 + X_C^2 - R^2) / A(7)$$

$$102 \text{ LET } D(1) = C(1) - C(2)$$

$$104 \text{ LET } X_1 = C(1) + (D(1))^{\frac{1}{2}}$$

$$106 \text{ LET } Y_1 = -A(2)X_1 + B(2)$$

$$108 \text{ LET } C(3) = (X_C + A(2)(B(3) - Y_C)) / A(7)$$

$$110 \text{ LET } C(4) = ((B(3) - Y_C)^2 + X_C^2 - R^2) / A(7)$$

$$112 \text{ LET } D(2) = C(3) - C(4)$$

$$114 \text{ LET } X_2 = (C(3) - (D(2))^{\frac{1}{2}})$$

$$116 \text{ LET } Y_2 = -A(2)X_2 + B(3)$$

$$118 \text{ LET } X_P = (B(4) - \frac{Y_1 X_1 - Y_2 X_2}{X_2 - X_1}) / \left( \frac{Y_2 - Y_1}{X_2 - X_1} - A(1) \right)$$

$$120 \text{ LET } Y_P = A(1)X_P + B(1)$$

$$122 \text{ LET } PC = ((Y_C - Y_P)^2 + (X_C - X_P)^2)^{\frac{1}{2}}$$

$$124 \text{ LET } PH = (R^2 - (PC)^2)^{\frac{1}{2}}$$

$$126 \text{ LET } S_1 = (Y_P^2 + X_P^2)^{\frac{1}{2}}$$

$$128 \text{ LET } S_2 = PC / R$$

$$130 \text{ LET } S_3 = R(1 - S_2^2)$$

$$132 \text{ LET } A(4) = (Y_P - Y(2,1)) / (X_P - X(2,1))$$

$$134 \text{ LET } B(4) = (X_P Y(2,1) - Y_P X(2,1)) / (X_P - X(2,1))$$

$$136 \text{ LET } C(5) = (X_C + A(4)(Y_C - B(4))) / (1 + \tilde{A}(4))$$

$$138 \text{ LET } C(6) = (X_C^2 + (Y_C - B(4))^2 - R^2) / (1 + \tilde{A}(4))$$

$$140 \text{ LET } D(3) = C(5) - C(6)$$

$$142 \text{ LET } K(1) = C(S) + (D(3))^{\frac{1}{2}}$$

$$144 \text{ LET } K(2) = C(S) - (D(3))^{\frac{1}{2}}$$

$$146 \text{ IF } (K(4) - X(2,1))^2 > 0.1 \text{ THEN } 150$$

$$148 \text{ } K(1) = K(2)$$

$$150 \text{ LET } H(1) = A(4)K(1) + B(4)$$

$$152 \text{ LET } A(5) = (Y_C - H(1)) / (X_C - K(1))$$

$$154 \text{ LET } B(5) = (H(1)X_C - Y_C K(1)) / (X_C - K(1))$$

$$156 \text{ LET } C(7) = (X_C + A(5)(Y_C - B(5))) / (1 + \tilde{A}(5))$$

$$158 \text{ LET } C(8) = (X_C^2 + (Y_C - B(5))^2 - R^2) / (1 + \tilde{A}(5))$$

$$160 \text{ LET } D(4) = C(7) - C(8)$$

$$162 \text{ LET } K(3) = C(7) + (D(4))^{\frac{1}{2}}$$

$$164 \text{ LET } K(4) = C(7) - (D(4))^{\frac{1}{2}}$$

$$166 \text{ IF } (K(3) - K(1))^2 > 0.1 \text{ THEN } 170$$

$$168 \text{ } K(3) = K(4)$$

$$170 \text{ LET } H(2) = A(5)K(3) + B(5)$$

$$172 \text{ LET } X_{\Pi} = -B(5) / A(5)$$

$$174 \text{ LET } X_T = (K(3) - X_{\Pi})$$

$$176 \text{ LET } Y_T = H(2)$$

$$178 \text{ LET } X_F = (X_C - X_P)$$

$$180 \text{ LET } Y_F = (Y_C - Y_P)$$

$$182 \text{ LET } G_1 = \underline{Y_P} / X_P$$

$$184 \text{ LET } G_2 = Y_F / X_F$$

$$186 \text{ LET } G_3 = Y_T / X_F$$

$$188 \text{ LET } K(\xi) = ATN(G_1)$$

$$190 \text{ LET } K(2) = ATN(G_2)$$

192 LET K(3) = ATN(G3)

194 LET O1 = 180 \* K(1) / PI

196 LET OF = 180 \* K(2) / PI

198 LET OS = 180 \* K(3) / PI

200 LET O2 = O3 - OF

202 PRINT "S1="; S1; "S2="; S2; "S3="; S3; "O1="; O1; "O2="; O2  
"O3="; OS

204 DATA

206 END

### Remarques:

Pour aléger l'écriture du programme nous avons remplacer les insignes des opérations multiplication et exposant (\*,  $\uparrow$ ) utilisés en basic par les insignes usuels.

$$- \quad S_1 = |S_{11}| \quad ; \quad S_2 = |S_{22}| \quad ; \quad S_3 = |S_{12}|^2$$

$$O_1 = \theta_{11} \quad ; \quad O_2 = \theta_{22} \quad ; \quad O_3 = 2\theta_{12}$$

- Les valeurs des arguments sont données en degré

## BIBLIOGRAPHIE

- P. GRIVET: physique des lignes H-F et d' UHF (1974)
- E.L. GINZTON: microwave measurements (1957)
- LEFEUVRE.S: hyperfréquence (1969)
- Boudouris et Chenevier: circuits pour ondes guidées
- Roubine : circuits pour ondes ultracourtes
- Lamotier: Le BASIC par la pratique
- Lamotier: le langage BASIC et la nouvelle norme